

İ T Ü

NÜKLEER ENERJİ ENSTİTÜSÜ

YÜKSEK DERECELİ SONLU ELEMANLAR YÖNTEMİYLE

İ T Ü TRIGA-MARK II REAKTÖRU

YETKİNLİK HESAPLARI

(Yüksek lisans tezi)

Tez öğrencisi : HİKMET ÇAĞLAR

Tez yöneticisi : Yrd.Doç.Dr ATILLA ÖZGENER

OCAK 1985

Ö Z E T

Yapılan tez çalışmasında silindirik geometride tek boyutlu(radyal yönde), çok bölgeli ve çok guruplu difüzyon denklemelerinin sayısal çözümleri için bir bilgisayar kodu yazılmıştır Bilgisayar kodu ile kritikalite hesabı, serbest nötron kaynak problemleri ve nötron akı dağılımı hesabı yapılabilir.

Çok guruplu difüzyon denklemelerinin sayısal çözümleri sonlu elemanlar metoduyla gerçeklenmiştir.

İ.T.Ü TRIGA MARK II reaktörü nötronik hesabı iki bölgeli ve iki guruplu, 10 bölgeli ve iki guruplu eşdeğer homojenleştirme yapılarak yazılan kod yardımıyla gerçeklenmiştir. Yüksek dereceli sonlu elemanlar kullanılarak bilgisayar zamanının azaltılmasına çalışılmıştır.

Kullanılan semboller

∇	Mikroskopik tesir kesiti
\sum	Makroskopik tesir kesiti
$S(\vec{r})$	Kaynak terimi
$D(\vec{r})$	\vec{r} vektörü dolayındaki g. enerjili gurup difüzyon sabiti.
$\phi_g(\vec{r})$	\vec{r} vektörü dolayındaki g enerji gurup numaralı nötron akısı.
$\delta_s^{g \rightarrow g'}$	g' .uncü enerji gurubundan g . enerjili guruba saçılma tesir kesiti.
δ_{rg}	Çıkartma tesir kesiti
δ_{ag}	g inci gurup absorbsiyon tesir kesiti.
χ_g	Bir fisyondan g . enerji aralığında doğma olasılığı
ν^g	Herbir fisyondan g .inci gurupta doğan nötron sayısı
F	Fonksiyonel
ν	İterasyon sayısı.
ξ	Lokal koordinatlar bağımsız değişkeni.
k	Çoğaltma katsayısı
$\underline{\underline{A}}^T$	A matrisinin transpozesi.
$k^{(i)}$	Çoğaltma katsayısının i .inci iterasyondaki değeri.

İÇİNDEKİLER

Sonlu elemanlar	1
Sonlu elemanlar yöntemi ve difüzyon denklemlerinin çözümü	4
Problem 1	37
İTÜ TRIGA MARK-II reaktörü iki bölgeli ve iki guruplu kritikalite hesabı.	40
İTU TRIGA MARK-II reaktörü on bölgeli ve iki guruplu kritikalite hesabı.	48
Ek.1 Sonlu elemanlar yöntemiyle çok guruplu ve çok bölgeli difüzyon denklemlerini çözen bilgisayar programı	55
Ek.2 Örnek bilgisayar çıkışı.	79
Ek.3 Kareköklü Cholosky yöntemiyle lineer denklem çözümü	86
Kaynaklar	89
Tesekkür	90

I. SONLU ELEMANLAR

1950 lerde inşaat mühendisliğinin karmaşık gerilme problemlerinin çözümü için bir sayısal yöntem geliştirilmiştir. Bu yöntemde klasik sonlu fark yaklaşımının gerektirdiği dik-dörtgensel izgara yapısı gerekliliği ortadan kalkıyordu. Karmaşık geometrideki sistemlerde üçgensel izgara yapısı ve doğal izgara yapısını olanaklı kılıyordu.

Yöntem matematiksel bir analiz sonucu doğmamıştır. İnşaat mühendislerinin kendi problemlerine yönelik sezgisel bir düşünüş tarzı sonucu ortaya çıkmıştır.

Bilgisayarların gelişmesine bağlı olarak büyük boyutlarda mühendislik problemleri bu yöntemle çözülmüştür.

Bu arada ısı transferi, akışkanlar mekaniği, nötron difüzyon transport analizinde bu yöntem kullanılmıştır.

Daha sonraları bu yöntemin gerçekte varyasyonel problem - lerin çözümü için önerilen klasik Ritz metodunun bir uygulaması olduğu anlaşıldı.

Kendine ek(Self adjoint) bir lineer diferansiyel denklemin belirli sınır koşulları altında çözümü olan fonksiyon, aynı zamanda bir fonksiyonelin minumum değerini sağlayan fonksiyondur. Varyasyonel matematiğin bir prensibine göre uygulamalı

bilim dallarında rastladığımız kısmi diferansiyel denklem - lerin direkt çözümü yerine varyasyonel bir prensipten har - eketle bir fonksiyonelin minumumunu bulabiliriz. Bu minumum aradığımız çözüm olacaktır. Eğer diferansiyel denklemin ana - litik çözümü bulunamıysa, fonksiyonelin minumumu da anal - itik olarak bulunamaz.

Analitik çözümün olanaksız olması durumunda tek seçenek sayısal yöntemlere başvurmaktır. Taylor serileri kullanılarak belirli ızgara yapısı içinde problemi lineer sistem çözümüne indirmek sonlu fark yöntemi oluşturur. Bu yöntemin temel eksikleri:

- a) Dikdörtgensel ızgara yapısı ve bunun açtığı zorluklar.
 - b) Yüksek mertebe doğruluklara ulaşmada rastlanan güçlükler.
- Yukarıda belirtilen zorluklar bazı durumlarda sonlu fark yak - laşımıyle çözüm yapmayı olanaksız kılmakta, bazı hallerde ise bilgisayar süresini uzatmaktadır.

İzlenebilecek diğer bir yolda diferansiyel denkleme say - isal yaklaşım arama yerine fonksiyonelin minumuna sayısal bir yaklaşım aramaktır. Sonsuz boyutlu sürekli fonksiyonlar uzayının sonlu boyutlu bir alt uzayında fonksiyonelin min - umumunu sağlayan fonksiyon aranır. Bulunan fonksiyon minum - umu sağlayan yaklaşık bir fonksiyon olacaktır. Fakat yapılm - acak yaklaşımın mertebesini öngörebiliyorsak sorun çıkmaz. Fonksiyonelin minumumunu aramak bilinen Ritz metodudur.

Sonlu elemanlar yönteminde parçasal polinomlar uzayı seçiler-ek Ritz yönteminin sayısal analize en uygun varyantı oluşturur. Dikdörtgen ızgara zorunluluğu ortadan kalkmakta ve istenilen doğruluk mertebesine ulaşılabilir.

Sonlu elemanlar yönteminin getirdiği en önemli yenilik olar-ak dikdörtgensel ızgara zorunluğunun ortadan kaldırımı gösterilebilir. Geometrik modellemeyi olanaksız kıyan durumlarda üçgenlerden oluşan ızgara, izo-parametrik eleman kavramına geçilerek kenarları konik olanızgaralar oluşturulabilir. Diğer bir avantaj ise yüksek mertebeli polinomlar kullanarak istenilen doğruluk mertebesine ulaşabilmemiz.

Nükleer sahada, nükleer reaktör hücresinin geometrisi modellenebilmekte. Reaktör eşdeğer homojenleştirme sonunda geometrisi belirlenebilmektedir. Bu konuda tek sorun bilgisayar süresini azaltmaktadır.

Sonuçta sonlu elemanlar yönteminin bilgisayar-etkin bir yöntem olduğunu söyleyebiliriz.

II. SONLU ELEMANLAR YÖNTEMİ VE DİFÜZYON DENKLEMİNİN ÇÖZÜMÜ

Lineer self-adjoint problemlerde, varyasyonel sonlu elemanlar yöntemi kullanılır. Sistemin diferansiyel denklemının çözümünü bulmak için fonksiyonun kararlı değerinin bulunması şartı kullanılır.

Reaktör fizik hesaplarında problemimiz self-adjoint olduğundan varyasyonel sonlu elemanlar yöntemi kullanılabilir.

Difüzyon denklemi,

$$-\vec{\nabla} D(\vec{r}) \vec{\nabla} \phi(\vec{r}) + \zeta(\vec{r}) \phi(\vec{r}) = S(\vec{r}) \quad \vec{r} \in V \quad (II.1)$$

Sınır koşuları,

$$\vec{n} \cdot D(\vec{r}) \vec{\nabla} \phi(\vec{r}) + \frac{1}{2} \phi(\vec{r}) = 0 \quad \vec{r} \in \Gamma_v \quad (II.2)$$

$$\vec{n} \cdot D(\vec{r}) \vec{\nabla} \phi(\vec{r}) = 0 \quad \vec{r} \in \Gamma_r \quad (II.3)$$

Γ_r yansıtıcı dış yüzey

Γ_v boşluk dış yüzeyi

Difüzyon denkleminin fonksiyoneli:

$$F[\psi(\vec{r})] = \int_V \left[D(\vec{r}) (\vec{\nabla} \psi(\vec{r}))^2 + \zeta(\vec{r}) \psi^2(\vec{r}) - 2 \psi(\vec{r}) S(\vec{r}) \right] dV + \frac{1}{2} \int_{\Gamma_v} \psi^2(\vec{r})$$

4

(II)

Difüzyon denkleminin fonksiyonelinin minumumunu sağlayan fonksiyon aynı zamanda difüzyon denklemini sınır koşularıyla sağlayan fonksiyonla eşdeğerdir. Difüzyon denkleminin çözümü ile fonksiyonelin minumumunu arama probleminin eşdeğer olduğu 1/ numaralı kaynakta gösterilmiştir.

RİTZ METODU

Difüzyon denkleminin çözümü varyasyonel metotla (II.4) deki varyasyonelin minumumunu sağlayan $\psi(r)$ fonksiyonunu arama problemine dönüştürülmüştü.

Varyasyonel formdaki (II.4) denklemi sonsuz boyutlu fonksiyonlar uzayında (H^1) sürekli, türevleri parçasal sürekli fonksiyonlar uzayında minimize edilebilir. (H^1) uzayında fonksiyonelin minumumunu aramak zor ve genellikle imkansızdır. Ayrica minumumu sağlayacak fonksiyondan elde edilecek sonsuz boyutlu lineer denklem sistemini çözmek olanağın dışıdır.

Ritz metodu minumum arama işlemine yaklaşık çözüm getiren bir yöntemdir.

Bu yöntemde sonsuz boyutlu fonksiyonlar uzayında fonksiyonelin minumumunu aramak yerine bu uzayın sonlu boyutlu bir alt uzayında fonksiyonelin minumumunu sağlayacak fonksiyon aranır. Bu yaklaşım şüphesiz aradığımız minumum fonksiyonu bize vermeyecektir. Fakat bizim hedefimiz difüzyon denklemine yaklaşık çözüm getirmek ve sistemin davranışları hakkında bilgi sahibi olmaktadır.

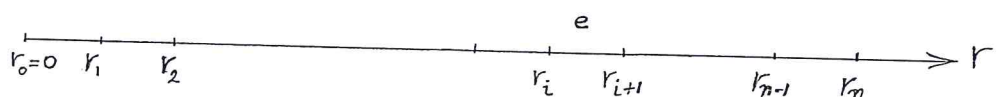
Ritz yönteminde seçilen alt uzayda baz oluşturan sonlu sayıda fonksiyon seçilir. Bu fonksiyonlar deneme fonksiyonu olarak adlandırılır.

Meydana gelen lineer denklem sisteminin boyutu kullanılan alt uzayın boyutuna eşittir.

Ritz yöntemini açıklayan bir örnek /1/ numaralı kaynakta 11. sayfada verilmiştir.

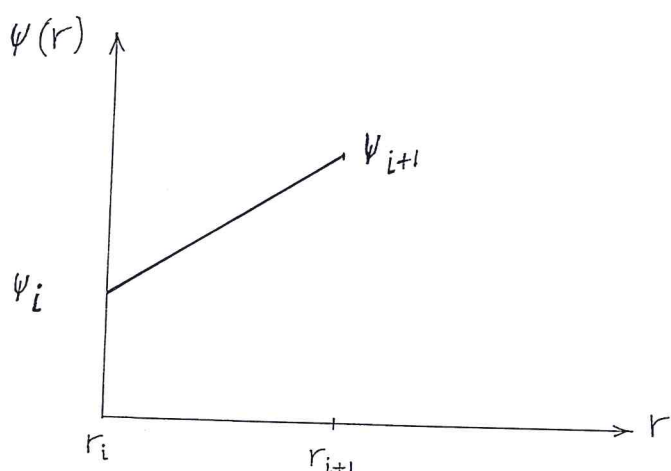
II.1. SONLU ELEMANLAR YÖNTEMİNDE DENEME FONKSİYONLARI

Tek boyutlu r uzunluğunda bir sistemi n parçaya bölelim. Bu parçaları eleman olarak tanımlayalım.



r_0, r_1, \dots, r_n noktalarına nod adı verilir.

e numaralı eleman içinde deneme fonksiyonlarını belirleyelim,

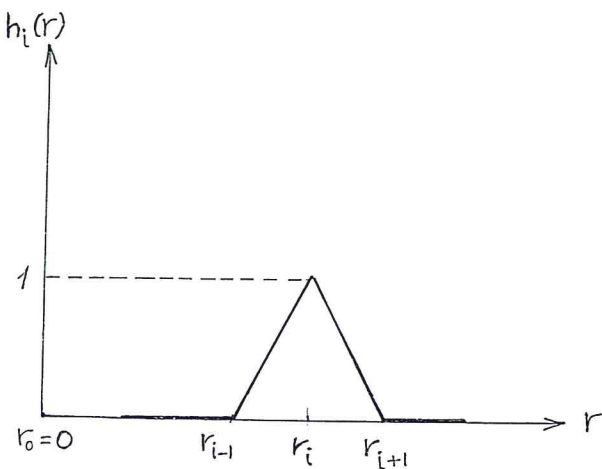


Fonksiyonumuz lineer olduğundan lagrange polinomu $\psi(r)$

$$\psi(r) = \frac{r - r_{i+1}}{r_i - r_{i+1}} \psi_i + \frac{r - r_i}{r_{i+1} - r_i} \psi_{i+1} \quad r_{i+1} \geq r \geq r_i$$

şeklinde yazılır.

Lagrange polinomu ile çalışmak işlem zorlukları getirdiğinden deneme fonksiyonları ile çalışmak uygun olacaktır.

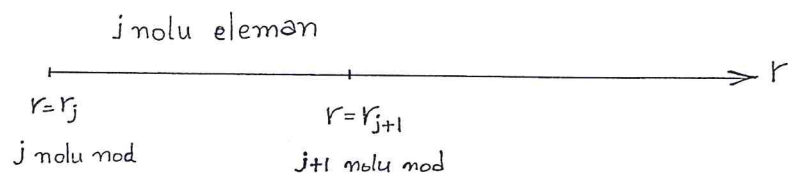


Fonksiyonlar her elemanda lineer ve nodlarda sürekli olmak üzere deneme fonksiyonları aşağıdaki şekilde yazılır.

$$h_i(r) = \begin{cases} 0 & r > r_{i+1} \\ \frac{r - r_{i+1}}{r_i - r_{i+1}} & r_i < r < r_{i+1} \\ \frac{r - r_{i-1}}{r_i - r_{i-1}} & r_{i-1} < r < r_i \\ 0 & r < r_{i-1} \end{cases}$$

II.2. TEK BOYUTLU SİLİNDİRİK GEOMETRİ VE LİNEER SONLU ELEMANLAR.

Tek boyutlu R uzunluğundaki bir sistemi n elemana bölelim. Bu sistemde deneme fonksiyonları eleman nodlarında süreklilik şartını sağlamaktadır.



(II.4) deki fonksiyonelimizi silindirik geometride yazalım.

$$F \left[\underline{\psi}(r) \right] = \int_0^R \left[D(r) \left(\frac{\partial \underline{\psi}}{\partial r} \right)^2 + C(r) \underline{\psi}^2(r) - 2 \underline{\psi}(r) S(r) \right] r dr + \frac{1}{2} R \underline{\psi}^2(r)$$

fonksiyonelin eleman içindeki değeri,

$$F_j \left[\underline{\psi}(r) \right] = \int_{r_j}^{r_{j+1}} \left[D_j \left(\frac{\partial \underline{\psi}}{\partial r} \right)^2 + C_j \underline{\psi}^2(r) - 2 \underline{\psi}(r) S(r) \right] r dr + \frac{1}{2} \delta_{j, j-1} R_j \underline{\psi}^2(R_j)$$

$$R_{j, V} = \begin{cases} R_j & \text{boşluk sınır koşulu} \\ 0 & \text{yansıtıcı sınır koşulu} \end{cases}$$

$$r = r_j + \Delta_j \xi \quad \Delta_j = r_{j+1} - r_j$$

$$\xi = \frac{r - r_j}{\Delta_j} \quad d\xi = \frac{dr}{\Delta_j}$$

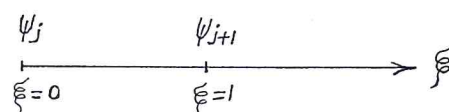
dönüşümü yapılarak lokal koordinatlarda fonksiyonel aşağıdaki şekilde yazılabilir.

Lokal koordinatlarda deneme fonksiyonlarımız,

$$h_1 = 1 - \xi$$

$$h_2 = \xi$$

$\psi(\xi)$ fonksiyonu deneme fonksiyonlarının lineer kombinasyonu olarak ifade edilebilir.



$\underline{\psi}_j$ jinci nodda $\underline{\psi}(\xi)$ fonksiyonunun aldığı değer

$\underline{\psi}_{j+1}$ j+1inci nodda $\underline{\psi}(\xi)$ fonksiyonunun aldığı değer

$$\underline{\psi}(\xi) = (1 - \xi) \underline{\psi}_j + \xi \underline{\psi}_{j+1}$$

$$\underline{\psi}(\xi) = \begin{bmatrix} h_1 & h_2 \end{bmatrix} \begin{bmatrix} \underline{\psi}_j \\ \underline{\psi}_{j+1} \end{bmatrix}$$

$$\underline{f}(\xi) = \begin{bmatrix} h_1 \\ h_2 \end{bmatrix}$$

$$\underline{\psi}(\xi) = \underline{\phi}_j^T \underline{f}(\xi) = \underline{f}^T(\xi) \underline{\phi}_j$$

$$F[\underline{\psi}(\xi)] = \int_0^1 r_j \frac{D_j}{\Delta_j} \underline{\phi}_j^T \underline{f}'(\xi) \underline{f}^T(\xi) \underline{\phi}_j + \Delta_j r_j \zeta_j \underline{\phi}_j^T \underline{f}(\xi) \underline{f}^T(\xi) \underline{\phi}_j$$

$$- 2 \Delta_j r_j \underline{\phi}_j^T \underline{f}(\xi) \underline{s}(\xi)$$

$$+ \int_0^1 \left[\xi^2 \underline{\phi}_j^T \underline{f}'(\xi) \underline{f}^T(\xi) \underline{\phi}_j - 2 \Delta_j^2 \zeta_j^2 \underline{\phi}_j^T \underline{f}(\xi) \underline{f}^T(\xi) \underline{\phi}_j \right] d\xi$$

$$+ \frac{1}{2} \delta_{j,J-1} R_{J,V} \psi^2(R_{J,V}) \quad (\text{II.2.1})$$

Son bulunan fonksiyonelde gerekli işlemler yapılarak j numaralı eleman matrisi ve kaynak vektörü aşağıdaki şekilde bulunur.

Lineer sonlu elemanlar j numaralı eleman matrisi.

$$\underline{\underline{A}}_j = \begin{bmatrix} \frac{D_j r_j}{\Delta_j} + \frac{D_j}{2} + \frac{\Delta_j r_j \bar{c}_j}{3} + \frac{\Delta_j^2 \bar{c}_j}{12} & \frac{-D_j r_j}{\Delta_j} + \frac{-D_j}{2} + \frac{\Delta_j r_j \bar{c}_j}{6} + \frac{\Delta_j \bar{c}_j}{12} \\ \frac{-D_j r_j}{\Delta_j} + \frac{-D_j}{2} + \frac{\Delta_j r_j \bar{c}_j}{6} + \frac{\Delta_j^2 \bar{c}_j}{12} & \frac{D_j r_j}{\Delta_j} + \frac{D_j}{2} + \frac{\Delta_j r_j \bar{c}_j}{3} + \frac{\Delta_j \bar{c}_j}{4} \end{bmatrix}$$

Yığılmış kaynak yaklaşımı yapılarak,

$$\underline{S}(\xi) = \nabla \underline{\phi}(\xi)$$

Lineer sonlu elemanlar j numaralı kaynak vektörü.

$$\underline{S}_j = \begin{bmatrix} \frac{r_j \Delta_j \bar{c}_j}{2} + \frac{\Delta_j^2 \bar{c}_j}{6} & 0 \\ 0 & \frac{r_j \Delta_j \bar{c}_j}{2} + \frac{\Delta_j^2 \bar{c}_j}{3} \end{bmatrix} \begin{bmatrix} \emptyset_j \\ \emptyset_{j+1} \end{bmatrix}$$

Global sisteme "Boole transformasyon matrisi" kullanılarak geçili

$$\begin{aligned}
 \exists_j^T &= \begin{bmatrix} 0 & 0 \\ 0 & 0 \\ \vdots & \vdots \\ 1 & 0 \\ 0 & 1 \\ 0 & 0 \\ \vdots & \vdots \\ 0 & 0 \end{bmatrix} \quad \leftarrow j \\
 \tilde{\underline{A}}_j &= \underline{\exists}_j^T \underline{A}_j \underline{\exists}_j \quad \underline{\underline{A}} = \sum_{j=1}^{J-1} \tilde{\underline{A}}_j \\
 \tilde{\underline{S}}_j &= \underline{\exists}_j^T \underline{S}_j \quad \underline{\underline{S}} = \sum_{j=1}^{J-1} \tilde{\underline{S}}_j \\
 F_j[\underline{\psi}] &= \underline{\psi}^T \underline{\underline{A}}_j \underline{\psi} - 2 \underline{\psi}^T \underline{\underline{S}}_j \\
 \underline{\emptyset}_j &= \underline{\exists}_j \underline{\psi} \quad F[\underline{\psi}] = \sum_{j=1}^{J-1} F_j[\underline{\psi}]
 \end{aligned}$$

$\underline{\underline{A}}$ matrisi pozitif kesin bir matristir. Dolayısıyle $\underline{\underline{A}} = \underline{\underline{A}}^T$ yazılabilir.
Fonksiyonelimizi minimum kılan $\underline{\emptyset}$ fonksiyonunu arayalım.

$$\begin{aligned}
 \underline{\psi} &= \underline{\emptyset} + \epsilon \underline{\delta} \\
 F[\underline{\psi}] &= \underline{\psi}^T \underline{\underline{A}} \underline{\psi} - 2 \underline{\psi}^T \underline{\underline{S}}
 \end{aligned}$$

$$F[\psi] = \left[\underline{\phi}^T + \underline{\epsilon}^T \underline{\delta} \right] \underline{A} \left[\underline{\phi} + \underline{\epsilon} \underline{\delta} \right] - 2 \left[\underline{\phi}^T + \underline{\epsilon}^T \underline{\delta} \right] \underline{S}$$

$$\begin{aligned} F[\psi] &= \underbrace{\left[\underline{\phi}^T \underline{A} \underline{\phi} - 2 \underline{\phi}^T \underline{S} \right]}_{\delta^2 F[\phi]} + \underbrace{\left[\underline{\delta}^T \underline{A} \underline{\phi} + \underline{\phi}^T \underline{A} \underline{\delta} - 2 \underline{\delta}^T \underline{S} \right]}_{\delta^2 F[\phi]} \\ &\quad + \underbrace{\epsilon^2 \left[\underline{\delta}^T \underline{A} \underline{\delta} \right]}_{\delta^2 F[\phi]} \end{aligned}$$

$\delta^2 F[\phi]$ ikinci varyasyonel sıfırdan büyük olduğundan
 $F[\psi] \geq F[\phi]$ şartının sağlanabilmesi için birinci varyasyonelin sıfır olması gereklidir.

$$\underline{\delta}^T \underline{A} \underline{\phi} + \underline{\phi}^T \underline{A} \underline{\delta} - 2 \underline{\delta}^T \underline{S} = 0$$

$$\underline{A} = \underline{A}^T \quad \text{olduğundan dolayı}$$

$$2 \underline{\delta}^T (\underline{A} \underline{\phi} - \underline{S}) = 0$$

$$\underline{A} \underline{\phi} = \underline{S}$$

lineer denklem sistemi elde edilir.

Bu denklem sisteminin çözümü sonucu $\underline{\phi}$ bulunur.

II.3. TEK BOYUTLU SİLİNDİRİK GEOMETRİ VE KUADRATİK SONLU ELEMANLAR

Eleman içinde aki dağılımı ikinci derece fonksiyon ile gösterilmekte ve fonksiyon nodlarda süreklilik şartını sağlamakta.

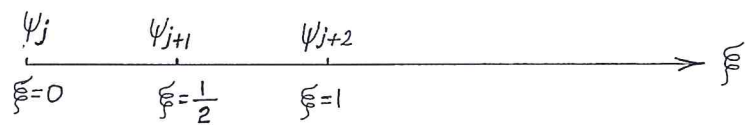
Kuadratik deneme fonksiyonlarımız.

$$h_1 = (1 - 2\xi)(1 - \xi)$$

$$h_2 = 4\xi(1 - \xi)$$

$$h_3 = \xi(2\xi - 1)$$

$\psi(\xi)$ fonksiyonu deneme fonksiyonlarının lineer kombinozonu olarak ifade edilebilir.



$$\underline{\psi}(\xi) = (1 - 2\xi)(1 - \xi)\psi_j + (1 - \xi)4\xi\psi_{j+1} + \xi(2\xi - 1)\psi_{j+2}$$

$$f(\xi) = \begin{bmatrix} h_1 \\ h_2 \\ h_3 \end{bmatrix}$$

$$\underline{\psi}(\xi) = \underline{f}^T(\xi) \underline{\phi}_j$$

fonksiyonu (II.2.1) de yerine yazılıarak \underline{A}_j ve \underline{S}_j belirlenir.

Kuadratik sonlu elemanlar j numarali eleman matrisi.

$$\begin{aligned}
 \underline{\underline{A}}_j &= \frac{D_j r_j}{3\Delta_j} \begin{bmatrix} 7 & -8 & 1 \\ -8 & 16 & -8 \\ 1 & -8 & 7 \end{bmatrix} \\
 &+ \frac{D_j}{6} \begin{bmatrix} 3 & -4 & 1 \\ -4 & 16 & -12 \\ 1 & -12 & 11 \end{bmatrix} \\
 &+ \frac{r_j \Delta_j \zeta_j}{30} \begin{bmatrix} 4 & 2 & -1 \\ 2 & 16 & 2 \\ -1 & 2 & 4 \end{bmatrix} \\
 &+ \frac{\Delta_j^2 \zeta_j}{60} \begin{bmatrix} 1 & 0 & -1 \\ 0 & 16 & 4 \\ -1 & 4 & 7 \end{bmatrix}
 \end{aligned}$$

Kuadratik sonlu elemanlar j numaralı kaynak vektörü.

$$S_j = \begin{bmatrix} \frac{r_j \Delta_j \bar{v}_j}{6} & 0 & 0 \\ 0 & \frac{2r_j \Delta_j \bar{v}_j}{3} + \frac{\Delta_j^2 \bar{v}_j}{3} & 0 \\ 0 & 0 & \frac{r_j \Delta_j \bar{v}_j}{6} + \frac{\Delta_j^2 \bar{v}_j}{6} \end{bmatrix} \begin{bmatrix} \emptyset_j \\ \emptyset_{j+1} \\ \emptyset_{j+2} \end{bmatrix}$$

II.4. TEK BOYUTLU SİLİNDİRİK GEOMETRİ VE KÜBİK SONLU ELEMANLAR

Eleman içinde aki dağılımı üçüncü derece fonksiyon ile gösterilmekte ve fonksiyon nodlarda süreklilik şartını sağlamakta.

Kübik deneme fonksiyonlarımız.

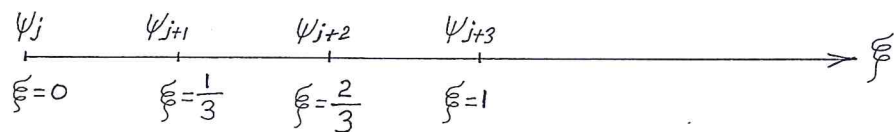
$$h_1 = \frac{1}{2} (1 - 3\zeta)(2 - 3\zeta)(1 - \zeta)$$

$$h_2 = \frac{9}{2} \zeta (2 - 3\zeta)(1 - \zeta)$$

$$h_3 = \frac{9}{2} \zeta (3\zeta - 1)(1 - \zeta)$$

$$h_4 = \frac{1}{2} \zeta (3\zeta - 1)(3\zeta - 2)$$

$\psi(\zeta)$ fonksiyonu deneme fonksiyonlarının lineer kombinasyonu olarak ifade edilebilir.



$$\underline{\psi}(\xi) = \frac{1}{2} (1 - 3\xi)(2 - 3\xi)(1 - \xi) \psi_j + \frac{9}{2} \xi(2 - 3\xi)(1 - \xi) \psi_{j+1}$$

$$+ \frac{9}{2} \xi(3\xi - 1)(1 - \xi) \psi_{j+2} + \frac{1}{2} \xi(3\xi - 1)(3\xi - 2) \psi_{j+3}$$

$$\underline{f}(\xi) = \begin{bmatrix} h_1 \\ h_2 \\ h_3 \\ h_4 \end{bmatrix}$$

$$\underline{\psi}(\xi) = \underline{f}^T(\xi) \underline{\phi}_j$$

fonksiyonu (II.2.1) de yerine yazılıarak \underline{A}_j ve \underline{S}_j belirlenir.

Kübik sonlu elemanlar j numarali eleman matrisi.

$$\underline{A}_j = \frac{D_j r_j}{40 \Delta_j} \begin{bmatrix} 148 & -189 & 54 & -13 \\ -189 & 432 & -297 & 54 \\ 54 & -297 & 432 & -189 \\ -13 & 54 & -189 & 148 \end{bmatrix}$$

$$+ \frac{D_j}{80} \begin{bmatrix} 34 & -51 & 30 & -13 \\ -51 & 270 & -297 & 78 \\ 30 & -297 & 594 & -327 \\ -13 & 78 & -327 & 262 \end{bmatrix}$$

$$+ \frac{r_j \Delta_j C_j}{1680} \begin{bmatrix} 128 & 99 & -36 & 19 \\ 99 & 648 & -81 & -36 \\ -36 & -81 & 648 & 99 \\ 19 & -36 & 99 & 128 \end{bmatrix}$$

$$+ \frac{\Delta_j^2 C_j}{3360} \begin{bmatrix} 19 & 9 & 9 & 19 \\ 9 & 405 & -81 & -81 \\ 9 & -81 & 891 & 189 \\ 19 & -81 & 189 & 237 \end{bmatrix}$$

Kübik sonlu elemanlar j numaralı kaynak vektörü.

$$S_j = \begin{bmatrix} \frac{r_j \Delta_j \zeta_j}{8} + \frac{\Delta_j^2 \zeta_j}{60} & 0 & 0 & 0 \\ 0 & \frac{3r_j \Delta_j \zeta_j}{8} + \frac{3\Delta_j^2 \zeta_j}{40} & 0 & 0 \\ 0 & 0 & \frac{3r_j \Delta_j \zeta_j}{8} + \frac{3\Delta_j^2 \zeta_j}{10} & 0 \\ 0 & 0 & 0 & \frac{r_j \Delta_j \zeta_j}{8} + \frac{13\Delta_j^2 \zeta_j}{120} \end{bmatrix} \begin{bmatrix} \phi_j \\ \phi_{j+1} \\ \phi_{j+2} \\ \phi_{j+3} \end{bmatrix}$$

II.5. TEK BOYUTLU SİLİNDİRİK GEOMETRİ VE KUARTİK SONLU ELEMANLAR

Eleman içinde aki dağılımı dördüncü derece fonksiyon ile gösterilmekte ve fonksiyon nodlarda süreklilik şartını sağlamakta.

$$h_1 = \frac{1}{3} (1 - 4\xi)(1 - 2\xi)(3 - 4\xi)(1 - \xi)$$

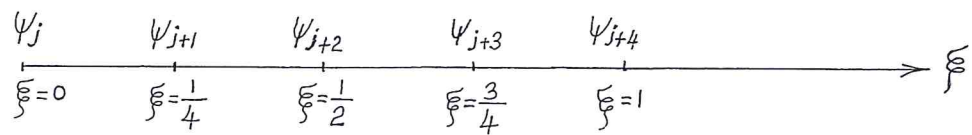
$$h_2 = \frac{16}{3} \xi(1 - 2\xi)(3 - 4\xi)(1 - \xi)$$

$$h_3 = -4 \xi(1 - 4\xi)(3 - 4\xi)(1 - \xi)$$

$$h_4 = \frac{16}{3} \xi(1 - 4\xi)(1 - 2\xi)(1 - \xi)$$

$$h_5 = -\frac{1}{3} \xi(1 - 4\xi)(1 - 2\xi)(3 - 4\xi)$$

$\psi(\xi)$ fonksiyonu deneme fonksiyonlarının lineer kombinasyonu olarak ifade edilebilir.



$$\underline{\psi}(\xi) = \frac{1}{3} (1-4\xi)(1-2\xi)(3-4\xi)(1-\xi) \psi_j + \frac{16}{3} \xi(1-2\xi)(3-4\xi)(1-\xi) \psi_{j+1}$$

$$- \xi(1-4\xi)(3-4\xi)(1-\xi) \psi_{j+2} + \frac{16}{3} \xi(1-4\xi)(1-2\xi)(1-\xi) \psi_{j+3}$$

$$- \frac{1}{3} \xi(1-4\xi)(1-2\xi)(3-4\xi) \psi_{j+4}$$

$$\underline{f}(\xi) = \begin{bmatrix} h_1 \\ h_2 \\ h_3 \\ h_4 \\ h_5 \end{bmatrix}$$

$$\underline{\psi}(\xi) = \underline{f}^T(\xi) \underline{\phi}_j$$

fonksiyonu (II.2.1) de yerine yazılıarak \underline{A}_j ve \underline{S}_j belirlenir.

4 derece sonlu elemanlar: j numaralı eleman matrisi.

$$\underline{A}_j = \frac{D_j r_j}{945 \Delta_j} \begin{bmatrix} 4925 & -6848 & 3048 & -1472 & 347 \\ -6848 & 16640 & -14208 & 5888 & -1472 \\ 3048 & -14208 & 22320 & -14208 & 3048 \\ -1472 & 5888 & -14208 & 16640 & -6848 \\ 347 & -1472 & 3048 & -6848 & 4925 \end{bmatrix}$$

$$+ \frac{D_j}{1890} \begin{bmatrix} 705 & -992 & 804 & -864 & 347 \\ -992 & 6400 & -9216 & 5888 & -2080 \\ 804 & -9216 & 22320 & -19200 & 5292 \\ -864 & 5888 & -19200 & 26880 & -12704 \\ 347 & -2080 & 5292 & -12704 & 9145 \end{bmatrix}$$

$$+ \frac{r_j \Delta_j C_j}{11340} \begin{bmatrix} 584 & 592 & -348 & 112 & -58 \\ 592 & 3584 & -768 & 512 & 112 \\ -348 & -768 & 3744 & -768 & -348 \\ 112 & 512 & -768 & 3584 & 592 \\ -58 & 112 & -348 & 592 & 584 \end{bmatrix}$$

$$+ \frac{\Delta_j^2 C_j}{11340} \begin{bmatrix} 29 & 32 & 0 & -32 & -29 \\ 32 & 768 & -192 & 256 & 144 \\ 0 & -192 & 1872 & -576 & -348 \\ -32 & 256 & -576 & 2816 & 560 \\ -29 & 144 & -348 & 560 & 555 \end{bmatrix}$$

$$\begin{bmatrix}
\frac{7r_j \Delta_j \bar{v}_j}{90} & 0 & 0 & 0 & 0 \\
0 & \frac{16r_j \Delta_j \bar{v}_j + 4 \frac{\Delta_j^2}{45} \bar{v}_j}{45} & 0 & 0 & 0 \\
0 & 0 & \frac{2r_j \Delta_j \bar{v}_j + \frac{2}{\Delta_j} \bar{v}_j}{15} & 0 & 0 \\
0 & 0 & 0 & \frac{16r_j \Delta_j \bar{v}_j + 4 \frac{\Delta_j^2}{15} \bar{v}_j}{15} & 0 \\
0 & 0 & 0 & 0 & \frac{7r_j \Delta_j \bar{v}_j + 7 \frac{\Delta_j^2}{90} \bar{v}_j}{90}
\end{bmatrix}$$

$$S_j =$$

4. derece elemanlar j numarallı kaynak vektörü

III. ÇOK GURUPLU DİFÜZYON DENKLEMLERİNİN SAYISAL ÇÖZÜMÜ

Çok guruplu difüzyon denklemlerini yazarak, denklemleri bilgisayarda çözebilecek hale getirelim.

$$-\vec{\nabla} D_1 \vec{\nabla} \phi_1 + \zeta_{rl} \phi_1 = \frac{1}{k} \chi_1 s$$

$$-\vec{\nabla} D_2 \vec{\nabla} \phi_2 + \zeta_{r2} \phi_2 = \frac{1}{k} \chi_2 s + \zeta_{sl,2} \phi_1$$

$$\vdots \qquad \vdots$$

$$-\vec{\nabla} D_G \vec{\nabla} \phi_G + \zeta_{rG} \phi_G = \frac{1}{k} \chi_G s + \zeta_{sl,G} \phi_1 + \dots + \zeta_{sG-1,G} \phi_{G-1}$$

Denklemleri yazarken düşük enerji guruplarından yukarı enerji guruplarına saçılma olmadığını varsayıdık. Ayrıca fision kaynağının konuma bağımlılığı her enerji gurubunda aynı olmakta.

$$s(\vec{r}) = \sum_{g=1}^G \nu_g \zeta_{fg} \phi_g(\vec{r})$$

Fisyon kaynağına ve çoğaltma katsayısına başlangıç değeri vererek gurup difüzyon denklemlerini birbirine bağlı olarak çözelim.

$$S(r) \sim S^{(o)}(r)$$

$$k \sim k^{(o)}$$

$$-\nabla D_1 \nabla \phi_1^{(1)} + \Gamma_{rl} \phi_1^{(1)} = \frac{1}{k^{(o)}} \cdot \chi_1 \cdot S^{(o)}(r)$$

$$-\nabla D_2 \nabla \phi_2^{(1)} + \Gamma_{r2} \phi_2^{(1)} = \frac{1}{k^{(o)}} \cdot \chi_2 \cdot S^{(o)}(r) + \Gamma_{sl,2} \phi_1^{(1)}$$

⋮

$$-\nabla D_G \nabla \phi_G^{(1)} + \Gamma_{rG} \phi_G^{(1)} = \frac{1}{k^{(o)}} \cdot \chi_G \cdot S^{(o)}(r) + \Gamma_{sl,G} \phi_1^{(1)} \dots \dots$$

$$\Gamma_{sl,G} \phi_{G-1}^{(1)}$$

Tüm gurup akıları bulunduktan sonra yeni fisyon kaynağı ve çoğaltma katsayısı hesaplanır.

$$S^{(1)}(r) = \sum_{g'=1}^G \nu_g \cdot \Gamma_{fg'} \phi_g^{(1)}$$

$$k^{(i)} = \frac{\int d^3 r \ S^{(i)}(r)}{\frac{1}{k^{(o)}} \int d^3 r \ S^{(o)}(r)}$$

Her kaynak iterasyonunda, çok guruplu denklemler düşük enerjili denklemlere doğru çözülür. Bu çözüm düşük enerji guruplarından yukarı enerji guruplarına saçılma olmadığını varsayılmakla mümkün olur. Dolayısıyle yüksek enerji guruplarındaki akı düşük enerji guruplarına kaynak oluşturur.

Çok guruplu denklemlerde, termal enerjileri içeren denklemler birden fazlaysa üst enerjilere saçılma mümkün olacağından denklemleri bu şekilde çözmek mümkün değildir.

Çok guruplu difüzyon denklemlerini tekrar yazalım.

$$-\vec{\nabla} D(\vec{r}) \vec{\nabla} \phi(\vec{r}) + \nabla \cdot (\vec{r}) \phi(\vec{r}) = S(\vec{r})$$

$$-\vec{\nabla} D(\vec{r}) \vec{\nabla} \phi(\vec{r}) + \int_r^1 \frac{1}{r} \phi(\vec{r}) = \frac{\chi}{k} \sum_{g=1}^G \nu \int_f^{g'} \phi'(\vec{r}) \phi(\vec{r})$$

$$-\vec{\nabla} D(\vec{r}) \vec{\nabla} \phi(\vec{r}) + \int_r^2 \frac{2}{r} \phi(\vec{r}) = \frac{\chi}{k} \sum_{g=1}^G \nu \int_f^{g'} \phi'(\vec{r}) \phi(\vec{r}) + \int_s^{1+2} \phi(\vec{r})$$

$$\begin{matrix} \cdot & \cdot \\ \cdot & \cdot \\ \cdot & \cdot \end{matrix}$$

$$-\vec{\nabla} D(\vec{r}) \vec{\nabla} \phi(\vec{r}) + \int_r^g \frac{g}{r} \phi(\vec{r}) = \frac{\chi}{k} \sum_{g=1}^G \nu \int_f^{g'} \phi'(\vec{r}) \phi(\vec{r}) + \sum_{g=1}^{g-1} \int_s^{g+g'} \phi'(\vec{r}) \phi(\vec{r})$$

$$\begin{matrix} \cdot & \cdot \\ \cdot & \cdot \\ \cdot & \cdot \end{matrix}$$

$$-\vec{\nabla} D(\vec{r}) \vec{\nabla} \phi(\vec{r}) + \int_r^G \frac{G}{r} \phi(\vec{r}) = \frac{\chi}{k} \sum_{g=1}^G \nu \int_f^{g'} \phi'(\vec{r}) \phi(\vec{r}) + \sum_{g=1}^{G-1} \int_s^{g+G} \phi'(\vec{r}) \phi(\vec{r})$$

Yukarıdaki denklemlerde g , enerji gurup numarasını göstermektedir.

\bar{U}_r^g ise g .inci enerji gurubu çıkartma tesir kesitidir.

Denklemleri daha basit ifade edebilmek için matris notasyonunda yazalım.

$$\left[\begin{array}{c} \frac{1}{-\bar{\nabla} D(\bar{r})\bar{\nabla}} + \bar{U}_r^1(\bar{r}) \\ -\frac{1 \rightarrow 2}{\bar{U}_s^2(\bar{r})} \quad -\frac{2}{-\bar{\nabla} D(\bar{r})\bar{\nabla}} + \bar{U}_r^2(\bar{r}) \\ \vdots \\ \vdots \\ -\frac{1 \rightarrow G}{\bar{U}_s^G(\bar{r})} \quad -\frac{G}{-\bar{\nabla} D(\bar{r})\bar{\nabla}} + \bar{U}_r^G(\bar{r}) \end{array} \right] \left[\begin{array}{c} \emptyset(\bar{r}) \\ \emptyset(\bar{r}) \\ \vdots \\ \vdots \\ \emptyset(\bar{r}) \end{array} \right]$$

$$= \frac{1}{k} \left[\begin{array}{cccc} x_1 \vee \bar{U}_f^1(\bar{r}) & x_1 \vee \bar{U}_f^2(\bar{r}) & \dots & x_1 \vee \bar{U}_f^G(\bar{r}) \\ x_2 \vee \bar{U}_f^1(\bar{r}) & x_2 \vee \bar{U}_f^2(\bar{r}) & \dots & x_2 \vee \bar{U}_f^G(\bar{r}) \\ \vdots & \vdots & \ddots & \vdots \\ x_G \vee \bar{U}_f^1(\bar{r}) & x_G \vee \bar{U}_f^2(\bar{r}) & \dots & x_G \vee \bar{U}_f^G(\bar{r}) \end{array} \right] \left[\begin{array}{c} \emptyset(\bar{r}) \\ \emptyset(\bar{r}) \\ \vdots \\ \vdots \\ \emptyset(\bar{r}) \end{array} \right]$$

$$\underline{\underline{M}} \underline{\emptyset} = \frac{1}{k} \underline{F} \underline{\emptyset}$$

$$\underline{\underline{M}}^{-1} \underline{F} \underline{\emptyset} = k \underline{\emptyset}$$

matrisyel eşitliği yazılabilir.

Bu eşitlikten k ve $\underline{\emptyset}$ yi bulmak istiyoruz.

Yukarıdaki eşitlik bir özdeğer-özvektör problemidir. k ve $\underline{\emptyset}$ özdeğer-özvektör çiftinin bulunması için sayısal bir yöntem sunalımlı.

$$\lambda^{(0)}, \underline{\emptyset}^{(0)} \text{ yapay seçilmiş}$$

$\nu=1$

$$\begin{array}{c}
 \xrightarrow{\quad} \underline{\psi}^{(\nu)} = \underline{\underline{M}}^{-1} \underline{F} \underline{\emptyset}^{(\nu-1)} \\
 \left| \begin{array}{l} \lambda^{(\nu)} = \frac{\left\| \int_{\Gamma} \underline{\psi}^{(\nu)} dv \right\|}{\left\| \int_{\Gamma} \underline{\emptyset}^{(\nu-1)} dv \right\|} \\ \underline{\emptyset}^{(\nu)} = \frac{1}{\lambda^{(\nu)}} \underline{\psi}^{(\nu)} \end{array} \right. \\
 \xleftarrow{\nu=\nu+1} \left| \begin{array}{l} \left| \frac{\lambda^{\nu} - \lambda^{\nu-1}}{\lambda^{\nu}} \right| < \epsilon \\ \text{HAYIR} \end{array} \right. \xrightarrow{\text{Evet}} \underline{\emptyset} \cong \underline{\emptyset}^{\nu} \\
 \text{ise} \end{array}$$

ν Iterasyon parametresi

$\|U\|_1$ Doğal vektör normu

Her iterasyonda G tane kısmi türevli diferansiyel denklem-in çözümü gerekmektedir.

$$\left[\begin{array}{cccccc}
\chi^{1,1,1}_{\mathcal{V}\mathcal{U}_f(\vec{r})} & \chi^{1,2,2}_{\mathcal{V}\mathcal{U}_f(\vec{r})} & \dots & \chi^{1,g,g}_{\mathcal{V}\mathcal{U}_f(\vec{r})} & \dots & \chi^{1,G,G}_{\mathcal{V}\mathcal{U}_f(\vec{r})} & \emptyset^{(\nu-1)} \\
\chi^{2,1,1}_{\mathcal{V}\mathcal{U}_f(\vec{r})} & \chi^{2,2,2}_{\mathcal{V}\mathcal{U}_f(\vec{r})} & \dots & \chi^{2,g,g}_{\mathcal{V}\mathcal{U}_f(\vec{r})} & \dots & \chi^{2,G,G}_{\mathcal{V}\mathcal{U}_f(\vec{r})} & \emptyset^{(\nu-1)} \\
\vdots & \vdots & & \vdots & & \vdots & \vdots \\
\chi^{g,1,1}_{\mathcal{V}\mathcal{U}_f(\vec{r})} & \chi^{g,2,2}_{\mathcal{V}\mathcal{U}_f(\vec{r})} & \dots & \chi^{g,g,g}_{\mathcal{V}\mathcal{U}_f(\vec{r})} & \dots & \chi^{g,G,G}_{\mathcal{V}\mathcal{U}_f(\vec{r})} & \emptyset^{(\nu-1)} \\
\vdots & \vdots & & \vdots & & \vdots & \vdots \\
\chi^{G,1,1}_{\mathcal{V}\mathcal{U}_f(\vec{r})} & \chi^{G,2,2}_{\mathcal{V}\mathcal{U}_f(\vec{r})} & \dots & \chi^{G,g,g}_{\mathcal{V}\mathcal{U}_f(\vec{r})} & \dots & \chi^{G,G,G}_{\mathcal{V}\mathcal{U}_f(\vec{r})} & \emptyset^{(\nu-1)}
\end{array} \right]$$

Yukarı enerji guruplarına saçılma olmadığı varsayıldığından dolayı M matrisi alt üçgen bir matris olmakta.

$$-\nabla D^g(\vec{r}) \nabla \psi(\vec{r}) + \nabla_r^g \psi(\vec{r}) = S^{(g)}(\vec{r})$$

Kısmi türevli diferansiyel denklemde S kaynak vektörü

$$S^{(g)}(\vec{r}) = \sum_{g'=1}^{g-1} \nabla_s^{g-g'} \psi^{g'(\nu)}(\vec{r}) + \chi \sum_{g'=1}^G \nu \nabla_f^{g'} \phi^{g'(\nu-1)}(\vec{r})$$

$g=1, 2, \dots, G$

g guruplu denklemde tek bilinmeyen saçılma ve fisyon kaynağından oluşan kaynak terimidir. Bu terim fisyon kaynağı iterasyonu ile belirlenir.

Tüm elemanları belirlenen g inci gurup difüzyon denklemi klasik sonlu fark yöntemiyle çözülebileceği gibi varyasyonel matematikten kaynaklanan sonlu elemanlar yöntemiylede çözülebilir.

Problem 1

$R=98.74$ cm yarıçapında silindirik bir reaktörün yetkinlik analizini, tek boyutlu tek enerji guruplu ve tek bölgeli verilere göre çözümleyelim.

$$D = 98.74 \text{ cm}$$

$$\sum_a = 0.152149 \text{ cm}^{-1}$$

$$\sqrt{\sum_f} = 0.155952 \text{ cm}^{-1}$$

Bilgisayar giriş parametreleri:

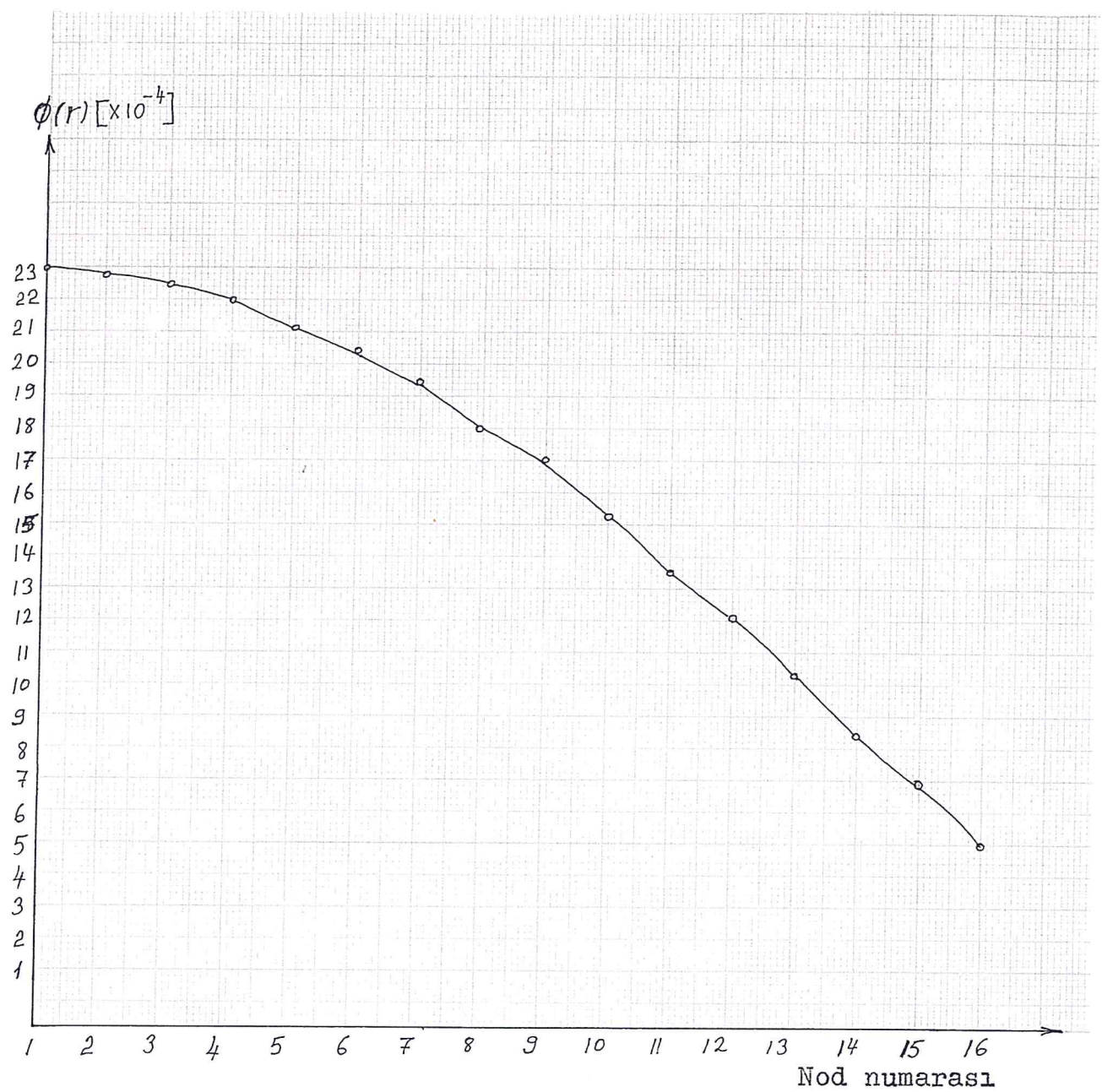
ITMAX	100
EPS	0.00001
ENGEN1	1.0
FINOR	1.0
NRBCT	1
SFIS(1)	1.0
NFISOR	1
NETSOR	0

Problemin analitik çözümünde $k_{ef}=1.000006$ bulunmaktadır.

Bilgisayar çıkışları Tablo.1 de verilmektedir.

Eleman derecesi	Eleman sayısı	Nod sayısı	Yakınsama	İterasyon sayısı	k_{ef}	CPU zamani(dk)
1	25	26	9.655E-6	48	1.00048	4.05
1	14	15	9.298E-6	52	1.00217	3.01
2	7	15	8.940E-6	48	0.99977	2.56
3	5	16	9.059E-6	48	0.99993	3.26
4	6	25	9.775E-6	47	1.00121	5.34
4	4	17	8.821E-6	48	1.00053	3.58
4	3	13	9.298E-6	48	1.0004	3.07
4	2	9	9.775E-6	55	1.0012	2.37

Tablo.1



Sekil.1

Eleman derecesi : 3

Eleman sayısı : 5

Nod sayısı : 16

Problem 2

İ.T.Ü TRIGA MARK-II reaktörü tek boyutlu iki bölgeli ve iki guruplu kritikalite hesabı.

Reaktör (Şekil.2) deki gibi eşdeğer homojen bölgelere ayrılmıştır. Eşdeğer homojen veriler (Tablo.2) de verilmektedir. x

Yutulma tesir kesitlerine eksenel sızma terimi (DB_g^2) eklenmiştir. xx

- x Eşdeğer homojenleştirme ve eşdeğer homojen veriler "A.Anacan,A.Yücel,T.Yarman:İ.T.Ü TRIGA MARK-II reaktörü fizik hesapları" tez çalışmasından alınmıştır.
- xx /4/ kaynaktan alındı.

Bilgisayar programı farklı eleman dereceleri ve eleman sayılarında çalıştırılmıştır. Bilgisayar çıkışları Tablo.3 de özetlenmiştir.

Yüksek mertebeli elemanlarla çalışılırken gerçek çözümme yaklaşılabilirinmektedir./1/

Gerçek çözüme en yakın k_{ef} değeri olarak, 4 derece elemanlar ve 69 nod sayısında çalışılırken elde edilen k_{ef} 1.11623 değeri alınabilir. Diğer eleman derecelerinde elde edilen k_{ef} değerleri bu değerlerle mukayese edilirse 2 derece elemanlarda yanılıgı 0 olmakta. En iyi yakınsamanın 2 derece elemanlarda gerçekleştiği söylenebilir. (Bilgisayar süresi dikkate alınarak)

Birinci derece sonlu elemanlarda yüksek yanılıgı yüzde - leri görülmektedir.

Bilgisayar giriş parametreleri:

ITMAX	100
EPS	0.00001
ENGEN1	1.0
FINOR	1.0
NRECT	1
SFIS(1)	1.0
SFIS(2)	0.0
NFISOR	1
NETSOR	0

O

18.510 cm

54.61 cm

Sekil.2

Tek boyutlu iki bölgeli düzenek

Y A N S I T T C I

K A L P

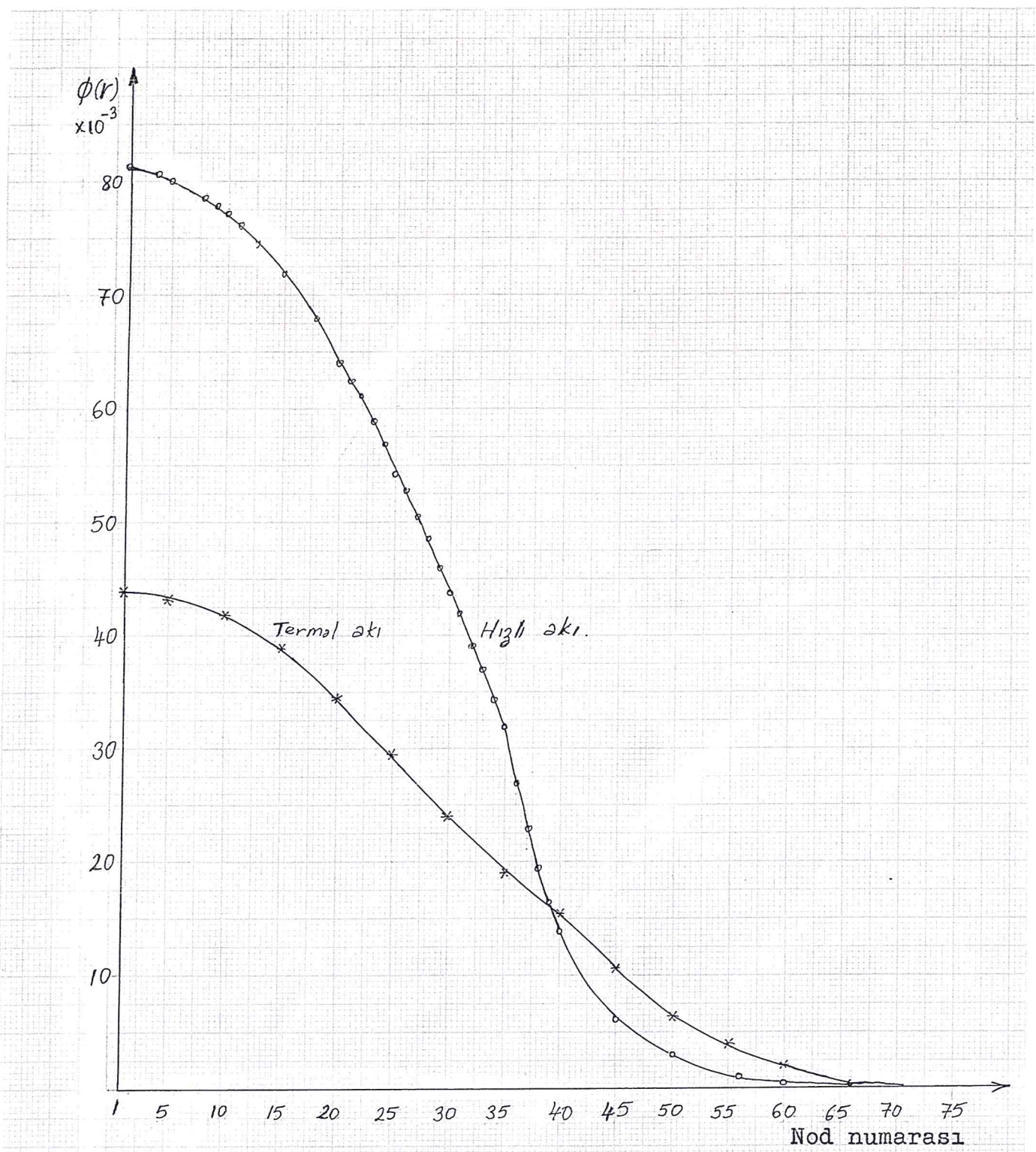
Bölge	$\sum_{\alpha 1}$	$\sqrt{\sum_{f1}}$	\sum_{tr1}	\sum_{21}	$\sum_{\alpha 2}$	$\sqrt{\sum_{f2}}$	\sum_{tr2}
1	0.016550	0.00813	0.371972	0.063567	0.11484	0.17843	1.91662
2	0.000160		0.426023	0.010050	0.00267		0.54318

Tablo.2 Tek boyut, iki bölgeli homojenleştirilmiş makroskopik tesir kesitleri (cm^{-1})

Tablo.3

Eleman derecesi	Eleman sayısı	Nod sayısı	Yakınsama	İterasyon sayısı	k_{ef}	CPU zamanı(dk)	% yanıl
1	20	21	8.106E-6	19	1.12185	3.19	0.50
1	30	31	8.702E-6	18	1.11866	4.31	0.21
1	70	71	6.675E-6	18	1.11668	9.50	0.040
2	6	13	8.583E-6	18	1.11731	3.33	0.090
2	8	17	7.033E-6	18	1.11654	2.56	0.027
2	10	21	8.106E-6	18	1.11636	3.34	0.016
2	15	31	9.775E-6	17	1.11624	4.52	0.0008
2	20	41	9.894E-6	17	1.11623	6.20	0.0
2	35	71	9.775E-6	17	1.11623	10.40	0.0
3	4	13	7.629E-6	20	1.12243	2.46	0.55
3	5	16	7.390E-6	20	1.12174	3.21	0.49
3	7	22	7.629E-6	18	1.11753	5.07	0.16
3	10	31	6.794E-6	18	1.11646	5.41	0.021

Eleman derecesi	Eleman sayısı	Nod sayısı	Yakınsama	İterasyon sayısı	k_{ef}	CPU zamanı	% yanılıgı
3	13	40	6.556E-6	18	1.11631	7.16	0.0071
3	23	70	6.198E-6	18	1.11625	12.27	0.0018
4	4	17	8.225E-6	18	1.11687	3.33	0.057
4	5	21	8.463E-6	18	1.11686	4.19	0.0056
4	12	29	6.556E-6	18	1.11630	5.53	0.0063
4	10	41	6.318E-6	18	1.11624	8.16	0.00089
4	17	69	9.894E-6	17	1.11623	13.07	0.0



Sekil.3

Problem 3

İ.T.Ü TRIGA MARK-II reaktörü tek boyutlu on bölgeli ve iki guruplu kritikalite hesabı.

Reaktör (Şekil.4) deki gibi eşdeğer homojen bölgelere ayrılmıştır. Eşdeğer homojen veriler (Tablo.4) de verilmektedir. x

Çıkarma tesir kesitlerine eksenel sızma terimi (\bar{DB}_g^2) eklenmiştir. xx

- x Eşdeğer homojenleştirme ve eşdeğer homojen veriler
"A.Anacan,A.Yücel,T.Yarman İ.T.Ü TRIGA MARK-II
reaktörü fizik hesapları" tez çalışmasından alınmıştır.
xx /4/ kaynaktan alındı.

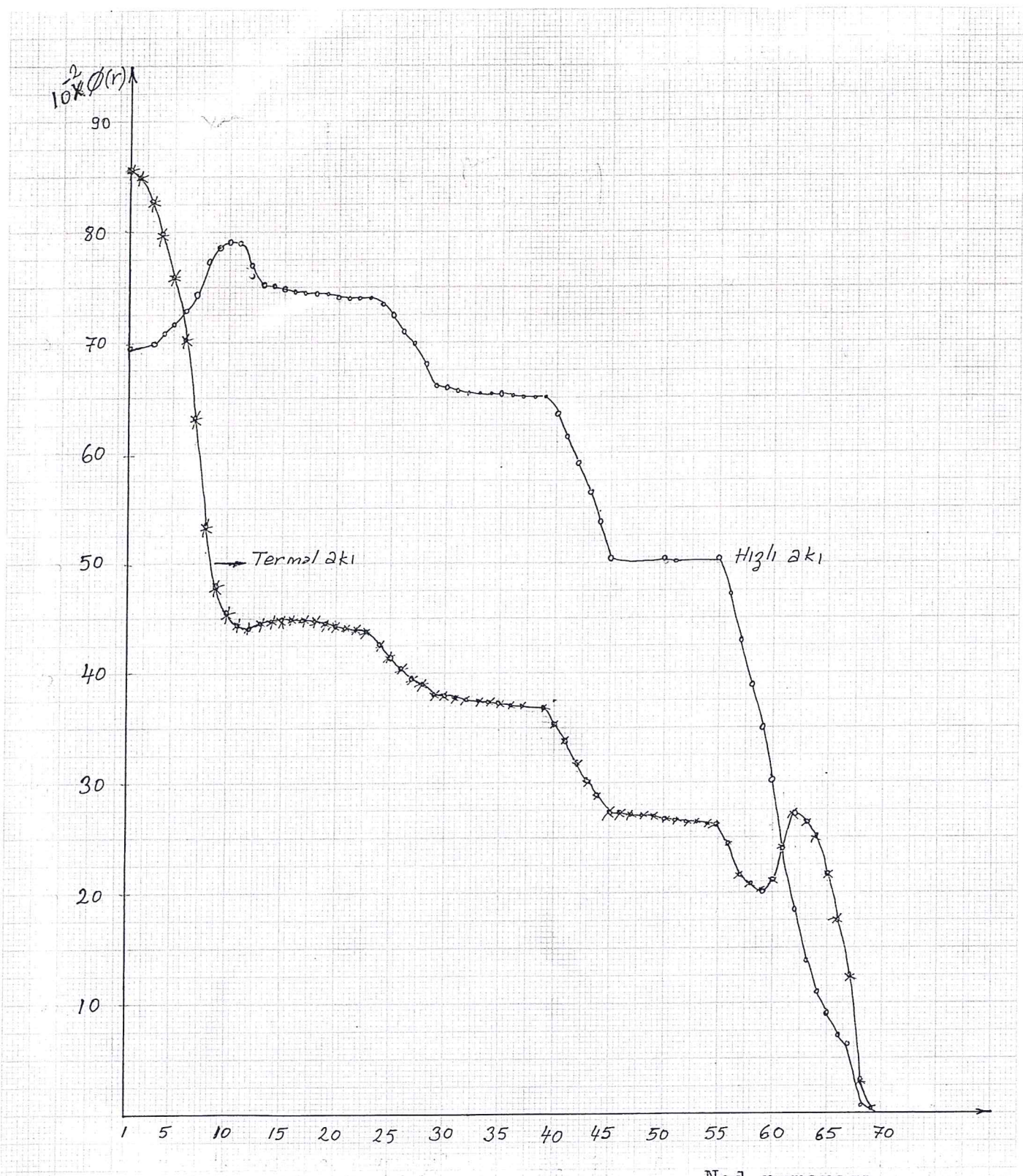
TRIGA reaktörü Şekil.4 de görüldüğü gibi eşdeğer homojen bölgelere ayrılmıştır./5/ Eşdeğer homojen veriler Tablo.4 de verilmektedir.Bilgisayar programı farklı eleman derecelerinde ve farklı nod sayılarında çalıştırılmıştır.4 derece elemanlar ile çalışılırken elde ettiğimiz sonuç gerçeğe enyakın değerdir.($k_{ef} = 1.08990$) Reaktördeki termal ve hızlı akı dağılımı Şekil.5 de görülmektedir. x

- x Kontrol çubukları kalp dışında ve bulundukları yer su dolu.

0	1.927	5.968	9.708	13.730	18.510	24.690	24.610
1	Yaklt 1	Yaklt 2	Yaklt 3	Yaklt 4	Yaklt+	Kaba ayar grubu Transient grubu	
2	3	4	5	6	7		
3	4	5	6	7	8		
4	5	6	7	8	9		
5	6	7	8	9	10	G R A F I T	
6	7	8	9	10			
7	8	9	10				
8	9	10					
9	10						
10							

Tek boyut, çok bölgeli homojenleştirilmiş makroskopik tesir kesitleri (cm^{-1})

Bölge	\sum_{a1}	$\nu \sum_{f1}$	\sum_{tr1}	\sum_{21}	\sum_{a2}	$\nu \sum_{f2}$	\sum_{tr2}
1	0.00112		0.29498	0.07751	0.01967		2.09210
2	0.01678	0.00826	0.37184	0.06360	0.11630	0.18138	1.91904
3	0.00106		0.24325	0.05344	0.01755		1.46625
4	0.01628	0.00800	0.36940	0.06407	0.11317	0.17553	1.92540
5	0.00106		0.24325	0.05344	0.01755		1.46625
6	0.01680	0.00825	0.37582	0.064304	0.11641	0.18113	1.93910
7	0.001064		0.24207	0.05288	0.01750		1.45184
8	0.01831	0.00905	0.38365	0.06302	0.12577	0.19864	1.92411
9	0.000893		0.32380	0.06045	0.01554		1.69738
10	0.000077		0.43752	0.00437	0.00122		0.41330



Şekil.5

SONUÇ

Yüksek dereceli sonlu elemanlar kullanarak tek boyutlu silindirsel geometride çok guruplu ve çok bölgeli difüzyon denklemlerini çözen bilgisayar programı yazılmıştır. Bilgisayar programı ile İTÜ TRIGA MARK-II reaktörü iki bölgeli iki guruplu ve on bölgeli iki guruplu kritikalite hesapları gerçeklenmiştir.

Bilgisayar programında alt enerji guruplarından üst enerji guruplarına saçılma olmadığı varsayılmıştır. Eksenel sızma dikkate alınmıştır.

Yüksek dereceli elemanlar kullanılarak gerçek değerlere yakın sonuçlar bulunabilir. Yüksek dereceli elemanlar ile bilgisayar zamanı azaltılarak iyi bir yaklaşım sağlanmıştır. Lineer elemanlarla elde edilen sonuçlarda yanılıgın büyük olmakta ve yüksek dereceli elemanların kullanılmasını zorunlu hale getirmektedir.

İki bölgeli ve iki guruplu hesap sonucu TRIGA MARK-II reaktörü çoğaltma katsayısı 1.11623 bulunmuştur. On bölgeli ve iki guruplu hesap sonucu 1.08990 bulunmuştur. Bulunan sonuçlar birbirleriyle uyumludur.

EK.1

SONLU ELEMANLAR YÖNTEMİYLE ÇOK GURUPLU DİFÜZYON DENKLEMLERİNİ ÇÖZEN BİLGİSAYAR PROGRAMI:

Bilgisayar programı "FORTRAN" programlama dili ile yazılmıştır.
Bir ana program ve 9 altprogramdan oluşmaktadır.

Ana program: HIKMET

Tüm altprogramlara dallanmayı gerçekleştirir. Çözülecek problemin parametreleri ana programda girdilenir.
COMMON deyimi ile ana programdaki sahalar ile altprogramdaki sahalar ortak kullanılmaktadır. COMMON deyiminde ayrılan sahalar maksimum 2 guruplu, 10 bölgeli ve maksimum 70 nod kullanılan problemlerin çözümü için yeterlidir. COMMON deyiminde sahaların boyutları genişletilerek çok guruplu çok bölgeli ve istenilen nod ile çalışılabilir. COMMON deyimindeki değişken listesi altprogramlardada aynı sırada ve boyutlarda tek-rarlanmalıdır.

DEĞİŞKEN LİSTESİ

NGT	Enerji gurup sayısı.
MAT	Malzeme sayısı.
NETSOR	Serbest nötron kaynak parametresi.
NFISOR	Fısıyon kaynak parametresi.
NDEG	Eleman derecesi.
NELT	Eleman sayısı.
NRBCT	Boşluk sınır koşulu.
NSP	Nod sayısı.
NHBW	Eleman matrisi bant genişliği.
ITMAX	Maksimum iterasyon sayısı.
EPS	Yakınsama parametresi.
ENGEN1	k_{ef} öngörüsü.
FINOR	Fısıyon normalizasyon parametresi.
ITT	Iterasyon sayısı.

Alt program: SKINP

SKINP altprogramında serbest nötron kaynağı girdilenir.

DEĞİŞKEN LİSTESİ

SKAY(NGT,MAT) Serbest nötron kaynağı.

Alt program: INPUT

Kullanılan malzemenin tesir kesitleri girdilenir

DEĞİŞKEN LİSTESİ

D(NGT,MAT)	Difüzyon sabitleri.
CEKES(NGT,MAT)	Çıkartma tesir kesitleri.
SEKES(NGT,NGT-1,MAT)	Suçılma tesir kesitleri.
FEKES(NGT,MAT)	Fisyon tesir kesitleri.
SFIS(NGT)	Fisyon spekturumu.

Alt program IZZEN

Eleman matrisi ve kaynak vektörünün oluşturulması için gerekli izgarayı hazırlar. Ayrıca nod koordinatları belirlenir.

DEĞİŞKEN LİSTESİ

RM(MAT)	Malzeme dış yarıçapları.
RMEL(MAT)	Malzeme eleman sayıları.
REL(NSP,NDEG+1)	Izgara.
R(NSP)	Nod koordinatları.

Alt program: MATRIS

Sonlu elemanlar yöntemindeki eleman matrisini oluşturur. Çözülecek problemin parametrelerine bağlı kalarak fisyon kaynağı, serbest nötron kaynağı, saçılma vektörünü oluşturur.

DEĞİŞKEN LİSTESİ

ZE(NSP,NGT)	Serbest nötron kaynak vektörü.
SSS(NSP,NGT)	Saçılma vektörü.
FSS(NSP,NGT)	Fisyon kaynak vektörü.
AA(NSP,NDEG+1,NGT)	Eleman matrisi.

Alt program CHOLESI

Eleman matrisi Ek.3 de açıklanan yöntemle alt üçgen matris haline getirilir.

Alt program SCASOR

Kaynak vektörü belirlenir.

Alt program: FISSOR

32inci sayfada açıklanan güç iterasyonu ile fisyon kaynağı belirlenir.

DEĞİŞKEN LİSTESİ

STARK(NSP,NDEG+1) Iterasyon için gerekli ek bir saha.REL değişkenine ait sahayı kullanmakta.

CHKEG Herhangibir iterasyon adımda yakınsama parametresi.

Alt program CHOLS2

CHOLS1 de hesaplanan alt üçgen matris ve kaynak vektörü kullanılarak lineer denklem sistemi çözülür

Alt program OUTPUT

Her enerji gurubuna ait akı dağılımı istenilen çıkış ortamına yazılır.

DEĞİŞKEN LİSTESİ

AKI(NSP,MAT) Akı dağılımı

BİLGİSAYAR PROGRAMI GİRDİ LİSTESİ

MAIN program.

Değişkenler	Tanımı
NGT	Enerji gurup sayısı.
MAT	Malzeme sayısı.
NETSOR	Serbest nötron kaynak parametresi. (0 ise kaynak yok, 1 ise var)
NFİSOR	Fisyon kaynak parametresi. (0 ise kaynak yok, 1 ise var)
NDEG	Sonlu eleman derecesi.
NELT	Sonlu eleman sayısı.
NRBCT	Boşluk sınır koşulu parametresi. (0 ise boşluk yok, 1 ise var)
ITMAX	Fisyon kaynağını belirleyen güç iterasyonunda maksimum iterasyon sayısı.
EPS	Yakınsama parametresi.
ENGEN1	k_{eff} öngörüsü.
FINOR	Fisyon normalizasyon parametresi. (Normal olarak 1 girilir)
1.Kart	NGT, MAT, NETSOR, NFİSOR, NDEG, NELT, NRBCT değişkenlerini 7I8 formatıyla giriniz.
2.Kart	ITMAX, EPS, ENGEN1, FINOR değişkenlerini (I8,3F10.6) formatıyla giriniz.

SUBROUTINE SKINP

Degiskenler	Tanimi
SKAY(NGT,MAT)	Serbest nötron kaynağı NETSOR 0 durumunda bu kart atlanır
3.Kart	SKAY(NGT,MAT) değişkenini 6F12.6 formatıyla giriniz.

SUBROUTINE INPUT

Degiskenler	Tanimi
D(NGT,MAT)	Difüzyon sabiti.
CEKES(NGT,MAT)	Çıkartma tesir kesiti.
SEKES(NGT,NGT-1,MAT)	Saçılma tesir kesitleri. NGT 1 durumunda bu kart atlanır.
FEKES(NGT,MAT)	Fisyon tesir kesiti.
SFIS(NGT)	Fisyon spekturumu.
4.Kart	D(NGT,MAT), CEKES(NGT,MAT), SEKES(NGT,NGT-1,MAT) FEKES(NGT,MAT) değişkenlerini 6F12.6 formatıyla giriniz.
5.Kart	SFIS(NGT) değişkenini 6F12.6 formatıyla giriniz.

SUBROUTINE IZJEN

Degiskenler	Tanimi
RM(MAT)	Malzeme dis yariçapları.
RMEL(MAT)	Her malzemedenki eleman sayıları.
6.Kart	RM(MAT)
	degiskenini 8F10.5 formatiyle giriniz.
7.Kart	RMEL(MAT)
	degiskenini 8F10.5 formatiyle giriniz.

```

* 4-DTYPE HİMMET, FOR
* IMPLICIT REAL*8(A-H,O-Z)
COMMON D(2,30), DEMED(2,10), FEMED(2,10), DEMED(2,2,10), DEMED(2,2,10)
* , DMAX(2,10), RM(10), RMEL(10), REL(70,5), R(70), RA(70,5,2),
* , RAD(2), ZE(70,2), DEM(70,2), FEM(70,2), AM(70,2)
READ(7,1) NET, MAT, NETBOR, NFIBOR, NDEB, NELT, NREDT
FORMAT(71B)
WRITE(2,102)
102 FORMAT(20X,'GİRDİ LISTESİ',//,10X)
WRITE(2,103) NET, MAT, NETBOR, NFIBOR, NDEB, NELT, NREDT
103 FORMAT(//,30X,'BURUR GAVİDİ-',1B,/,30X,'MALZEME GAVİDİ-',1B,
* ,1B,/,10X,'BERBET NOTUNU KAYNAKİ-',1B,/,10X,'FİBİL MALZEME-',1B,
* ,1B,/,10X,'ELEMAN METREDEKİ-',1B,/,10X,'ELEMAN GAVİDİ-',1B,
* ,1B,/,10X,'SÜDÜM GİVİR KOŞULLU-',1B,/,10X,'MEZ-METREDEKİ')
NDEB=NDEB+1
NET=NNET+NDEB+1
NDEB=NDEB+1
NEOV=NNET+NNET-1>0
IF(NFIBOR,0,0) GO TO 2
READ(7,4) ITMAX, EPS, ENENM, FINDR
FORMAT(1B,2F10.6)
WRITE(2,104) ITMAX, EPS, ENENM, FINDR
104 FORMAT(//,30X,'MAXIMUM İTERASYON GAVİDİ-',1B,/,30X,
* ,9YANINDA PARAMETREDE-',1B,6,/,10X,'KEFİ ONBORULU-',1B,6,
* ,/,10X,'FİGVİN NORMALİBASVON PARAMETREDE-',1B,6,/,10X,'')
IF(NETBOR,0,0) GO TO 5
CALL SMAXP(NET, MAT)
CALL INPUT(NET, MAT, NFIBOR)
CALL ITSEN(NDEB, NELT, MAT, NDM, NEP)
DO 6 IEB=1,NET
CALL Matriks(MAT, NET, NEOV, IEB, NDEB, NELT, NDM, NETBOR, NFIBOR,
* ,NREDT, NEP, NEH)
CALL COLCOL(NEP, NEH, NET, IEB)
CONTINUE
ITT=2
105 IF(NFIBOR,0,0) GO TO 7
CALL FBOR(NET, ITT, NEP, FINDR, DMED, ENENM)
IF(ITT,0,0) GO TO 7
IF(COLCOL(LT, NEP)) GO TO 8
IF(ITT,0,0) ITMAX=0 GO TO 9
ITT=ITT+1
WRITE(2,10) ITT
106 FORMAT(10X,'İTERASYON GAVİDİ-',10)
DO 11 IEB=1,NET
CALL BOBON(IEB, NET, NEP, NEOV, NFIBOR, NETBOR)
CALL DHOBON(IEB, NET, NEP, NEH)
CONTINUE
IF(NFIBOR,0,0) GO TO 9
GO TO 12
CONTINUE
CALL OUTPUT(NET, NEH)
STOP
END

```

```

40 TYPEDE TIZEN, FDR
    SUBROUTINE TIZEN(NDIM, NELT, MAT, NOM, NED)
    IMPLICIT REAL*8(A-H,O-Z)
    COMMON D(2,10), DEMED(2,10), FEMED(2,10), SEMED(2,2,10), EFMED(2)
    & EMAY(2,2), RM(1,2), RME(1,2), REL(70,5), R(70,5), RA(70,5), RB(70,5),
    & RAD(20), ZE(70,2), SEMD(70,2), FEMD(70,2), AMI(70,2)
    NDEM1=NDIM+1
    READ(7,20) (RM(I,J), I=1,5, MAT)
    FORMAT(10F10.5, B)
    READ(7,20) (RME(I,J), I=1,5, MAT)
    WRITE(7,7)
    DO 8 I=1, MAT
    NDEM1=RME(1,I)
    WRITE(7,8) I, RM(1,I), NDEM1
    FORMAT(7X,I5,10X,F10.5,10X)
    READ(7,20) NDEM1
    READ(7,20) NDEM1
    DO 9 I=1, 5, MAT
    RM(1,I)=RM(1,I)+NDEM1
    RME(1,I)=RME(1,I)+NDEM1
    REL(1,I,NOM)=I
    PZ=5-NOM
    WRITE(7,10) PZ, NDEM1
    DO 10 I=1, NDEM1
    NDEM1=NDEM1+1
    REL(1,I,NOM)=I
    PZ=NOM
    R(NOM)=R(1,I)+PZ-1, NDEM1, RME(1,I+1)
    CONTINUE
    NDEM1=NDEM1-1
    CONTINUE
    20 (X, Y, MAT)=RD(7, 20)
    READ(7,20) NDEM1
    NDEM1=RME(1,I+1)
    READ(7,20) NDEM1
    READ(7,20) NDEM1
    WRITE(7,10)
    DO 11 I=1, MAT
    NDEM1=RD(7, 11)
    FORMAT(10X, I5, 10X, F10.5, B)
    WRITE(7,11) (REL(1,I,J), J=1, NDEM1)
    CONTINUE
    FORMAT(2X, B(10L, 0, 2X))
    WRITE(7,12)
    DO 13 I=1, NDEM1
    NDEM1=NDEM1+1
    WRITE(7,13)
    FORMAT(10X, I5, 10X, F10.5, B)
    WRITE(7,14)
    FORMAT(10X, I5, 10X, F10.5, B)
    WRITE(7,15)
    FORMAT(10X, I5, 10X, F10.5, B)
    WRITE(7,16)
    FORMAT(10X, I5, 10X, F10.5, B)
    WRITE(7,17)
    FORMAT(10X, I5, 10X, F10.5, B)
    WRITE(7,18)
    FORMAT(10X, I5, 10X, F10.5, B)
    WRITE(7,19)
    FORMAT(10X, I5, 10X, F10.5, B)
    WRITE(7,20)
    FORMAT(10X, I5, 10X, F10.5, B)
    WRITE(7,21)
    FORMAT(10X, I5, 10X, F10.5, B)
    WRITE(7,22)
    FORMAT(10X, I5, 10X, F10.5, B)
    WRITE(7,23)
    FORMAT(10X, I5, 10X, F10.5, B)
    WRITE(7,24)
    FORMAT(10X, I5, 10X, F10.5, B)
    WRITE(7,25)
    FORMAT(10X, I5, 10X, F10.5, B)
    WRITE(7,26)
    FORMAT(10X, I5, 10X, F10.5, B)
    WRITE(7,27)
    FORMAT(10X, I5, 10X, F10.5, B)
    WRITE(7,28)
    FORMAT(10X, I5, 10X, F10.5, B)
    WRITE(7,29)
    FORMAT(10X, I5, 10X, F10.5, B)
    WRITE(7,30)
    FORMAT(10X, I5, 10X, F10.5, B)
    WRITE(7,31)
    FORMAT(10X, I5, 10X, F10.5, B)
    WRITE(7,32)
    FORMAT(10X, I5, 10X, F10.5, B)
    WRITE(7,33)
    FORMAT(10X, I5, 10X, F10.5, B)
    WRITE(7,34)
    FORMAT(10X, I5, 10X, F10.5, B)
    WRITE(7,35)
    FORMAT(10X, I5, 10X, F10.5, B)
    WRITE(7,36)
    FORMAT(10X, I5, 10X, F10.5, B)
    WRITE(7,37)
    FORMAT(10X, I5, 10X, F10.5, B)
    WRITE(7,38)
    FORMAT(10X, I5, 10X, F10.5, B)
    WRITE(7,39)
    FORMAT(10X, I5, 10X, F10.5, B)
    WRITE(7,40)
    FORMAT(10X, I5, 10X, F10.5, B)
    WRITE(7,41)
    FORMAT(10X, I5, 10X, F10.5, B)
    WRITE(7,42)
    FORMAT(10X, I5, 10X, F10.5, B)
    WRITE(7,43)
    FORMAT(10X, I5, 10X, F10.5, B)
    WRITE(7,44)
    FORMAT(10X, I5, 10X, F10.5, B)
    WRITE(7,45)
    FORMAT(10X, I5, 10X, F10.5, B)
    WRITE(7,46)
    FORMAT(10X, I5, 10X, F10.5, B)
    WRITE(7,47)
    FORMAT(10X, I5, 10X, F10.5, B)
    WRITE(7,48)
    FORMAT(10X, I5, 10X, F10.5, B)
    WRITE(7,49)
    FORMAT(10X, I5, 10X, F10.5, B)
    WRITE(7,50)
    FORMAT(10X, I5, 10X, F10.5, B)
    WRITE(7,51)
    FORMAT(10X, I5, 10X, F10.5, B)
    WRITE(7,52)
    FORMAT(10X, I5, 10X, F10.5, B)
    WRITE(7,53)
    FORMAT(10X, I5, 10X, F10.5, B)
    WRITE(7,54)
    FORMAT(10X, I5, 10X, F10.5, B)
    WRITE(7,55)
    FORMAT(10X, I5, 10X, F10.5, B)
    WRITE(7,56)
    FORMAT(10X, I5, 10X, F10.5, B)
    WRITE(7,57)
    FORMAT(10X, I5, 10X, F10.5, B)
    WRITE(7,58)
    FORMAT(10X, I5, 10X, F10.5, B)
    WRITE(7,59)
    FORMAT(10X, I5, 10X, F10.5, B)
    WRITE(7,60)
    FORMAT(10X, I5, 10X, F10.5, B)
    WRITE(7,61)
    FORMAT(10X, I5, 10X, F10.5, B)
    WRITE(7,62)
    FORMAT(10X, I5, 10X, F10.5, B)
    WRITE(7,63)
    FORMAT(10X, I5, 10X, F10.5, B)
    WRITE(7,64)
    FORMAT(10X, I5, 10X, F10.5, B)
    WRITE(7,65)
    FORMAT(10X, I5, 10X, F10.5, B)
    WRITE(7,66)
    FORMAT(10X, I5, 10X, F10.5, B)
    WRITE(7,67)
    FORMAT(10X, I5, 10X, F10.5, B)
    WRITE(7,68)
    FORMAT(10X, I5, 10X, F10.5, B)
    WRITE(7,69)
    FORMAT(10X, I5, 10X, F10.5, B)
    WRITE(7,70)
    FORMAT(10X, I5, 10X, F10.5, B)
    WRITE(7,71)
    FORMAT(10X, I5, 10X, F10.5, B)
    WRITE(7,72)
    FORMAT(10X, I5, 10X, F10.5, B)
    WRITE(7,73)
    FORMAT(10X, I5, 10X, F10.5, B)
    WRITE(7,74)
    FORMAT(10X, I5, 10X, F10.5, B)
    WRITE(7,75)
    FORMAT(10X, I5, 10X, F10.5, B)
    WRITE(7,76)
    FORMAT(10X, I5, 10X, F10.5, B)
    WRITE(7,77)
    FORMAT(10X, I5, 10X, F10.5, B)
    RETURN
    END

```

```

A) TYPE BMIMP, FOR
SUBROUTINE BMIMP (NET, MAT)
IMPLICIT REAL*8 A-H,O-Z
COMMON D(2,10), DEKEB(2,10), FEKEB(2,10), DEKEB(2,2,10), DFIB(2,
+ , BMAY(2,10), RM(10), RMEL(10), REL(70,3), R(70), AA(70,5,2),
+ , BAO(2), ZE(70,2), BCB(70,2), FCB(70,2), AM1(70,2)
WHITE(2,3)
DO 1 J=1,MAT
WHITE(2,4) J
READ(7,2) (BMAY(I,J), I=1,NET)
WHITE(2,5) (BMAY(3,J), I=1,NET)
CONTINUE
FORMAT(1X,1X,20X,1D20.10,1X,1D20.10,1X,1D20.10,1X,1D20.10)
FORMAT(1X,1X,10X,1D10.6,1X,1D10.6,1X,1D10.6,1X,1D10.6)
FORMAT(10X,6(1E12,0,20))
FORMAT(6F12.6)
RETURN
END

```

```

A) TYPE INPUT.FOR
SUBROUTINE INPUT(NET, MAT, NFIBDR)
IMPLICIT REAL*8(A-H,O-Z)
COMMON D(2,10), DEMED(2,10), FEMED(2,10), EMEED(2,2,10), EFTIB(2)
+ BMADV(2,10), BM(4,10), BMEL(3,10), REL(70,6), R(70), AA(70), B(2),
+ BDR(2), ZE(70,2), BDB(70,2), FDB(70,2), AHI(70,2)
WRITE(2,100)
DO I = 1, MAT
WRITE(2,101) I
WRITE(2,102)
READ(7,2) (D(I,J), J=1,NET)
WRITE(2,103) (D(I,J), J=1,NET)
WRITE(2,104)
READ(7,2) (DEMED(I,J), J=1,NET)
WRITE(2,105) (DEMED(I,J), J=1,NET)
IF(NET.EQ.1) GO TO 5
WRITE(2,106)
DO J = 1, NET
IF(J.EQ.1) GO TO 2
WRITE(2,106) J
J = J - 1
READ(7,2) (FEMED(I,M,J), M=1,J)
WRITE(2,107) (FEMED(I,M,J), M=1,J)
CONTINUE
IF(NFIBDR.EQ.0) GO TO 1
WRITE(2,107)
READ(7,2) (EMEDD(I,J), J=1,NET)
WRITE(2,108) (EMEDD(I,J), J=1,NET)
CONTINUE
IF(NFIBDR.EQ.0) GO TO 6
WRITE(2,108)
READ(7,2) (EFTIB(I,J), J=1,NET)
WRITE(2,109) (EFTIB(I,J), J=1,NET)
FORMAT(4F1.8,0)
100 FORMAT(0.0,0.0,0.0,0.0,0.0,0.0,0.0,0.0,0.0,0.0)
101 FORMAT(1.0,1.0,1.0,1.0,1.0,1.0,1.0,1.0,1.0,1.0)
102 FORMAT(1.0,1.0,1.0,1.0,1.0,1.0,1.0,1.0,1.0,1.0)
103 FORMAT(1.0,1.0,1.0,1.0,1.0,1.0,1.0,1.0,1.0,1.0)
104 FORMAT(1.0,1.0,1.0,1.0,1.0,1.0,1.0,1.0,1.0,1.0)
105 FORMAT(1.0,1.0,1.0,1.0,1.0,1.0,1.0,1.0,1.0,1.0)
106 FORMAT(1.0,1.0,1.0,1.0,1.0,1.0,1.0,1.0,1.0,1.0)
107 FORMAT(1.0,1.0,1.0,1.0,1.0,1.0,1.0,1.0,1.0,1.0)
108 FORMAT(1.0,1.0,1.0,1.0,1.0,1.0,1.0,1.0,1.0,1.0)
109 FORMAT(1.0,1.0,1.0,1.0,1.0,1.0,1.0,1.0,1.0,1.0)
5   RETURN
END

```


11
 SF (NETB03, ED, 0) SD TO 12
 E-BKVNKA (R (J) - R (I)) * R (I) / E.
 F-BKVNKA (R (J) - R (I)) * R (I) / E.
 ZE (I, IEB) - ZE (I, IEB) + E + F
 ZE (J, IEB) - ZE (J, IEB) + E + F, +F
 IF (IEB, ED, 1) SD TO 13
 IEB-1 - IEB-1
 DO 14 JBOV-1, IEB-1
 E-BAO (JBOV) * (R (J) - R (I)) * R (I) / E.
 F-BAO (JBOV) * (R (J) - R (I)) * R (I) / E.
 JBOV-1 (IEB-1) * (IEB-2) / E + JBOV
 SBB (I, JBOV) - SBB (I, JBOV) + E + F
 SBB (J, JBOV) - SBB (J, JBOV) + E + F, +F
 CONTINUE
 15
 AA (I, NHBN, IEB) - AA (I, NHBN, IEB) + A + E, +B + D
 JNL - NHBN - J + I
 AA (J, JNL, IEB) - AA (J, JNL, IEB) - A + B + D
 AA (I, NHBN, IEB) - AA (I, NHBN, IEB) + A + E, +B + D, +D
 IF (J, NE, NEV) SD TO 15
 IF (NETB03, NE, 1) SD TO 15
 AA (J, NHBN, IEB) - AA (J, NHBN, IEB) + B (NEP) / E.
 DO TO 6
 6
 IF (NEZB, ET, 2) SD TO 16
 A-DIFB (I) / E, * (R (M) - R (I)) / E
 B-(R (M) - R (I)) * R (I) * RTHB / E.
 D-DTHB (R (M) - R (I)) * R (I) / E.
 P-DIFB / E.
 IF (NETB03, ED, 0) SD TO 17
 E-FTKB (R (M) - R (I)) * R (I) / E,
 F-FTKB (R (M) - R (I)) * R (I) / E.
 PBB (I, IEB) - PBB (I, IEB) + E
 PBB (J, IEB) - PBB (J, IEB) + E + B, +F
 PBB (K, IEB) - PBB (K, IEB) + E + F
 IF (NETB03, ED, 0) SD TO 18
 E-BKVNKA (R (M) - R (I)) * R (I) / E,
 F-BKVNKA (R (M) - R (I)) * R (I) / E.
 ZE (I, IEB) - ZE (I, IEB) + E
 ZE (J, IEB) - ZE (J, IEB) + E, +E + B, +F
 ZE (K, IEB) - ZE (K, IEB) + E + F
 16
 IF (IEB, ED, 1) SD TO 19
 IEB-1 - IEB-1
 DO 20 JBOV-1, IEB-1
 E-BAO (JBOV) * (R (M) - R (I)) * R (I) / E.
 F-BAO (JBOV) * (R (M) - R (I)) * R (I) / E.
 JBOV-1 (IEB-1) * (IEB-2) / E + JBOV
 SBB (I, JBOV) - SBB (I, JBOV) + E
 SBB (J, JBOV) - SBB (J, JBOV) + E, +E + B, +F
 SBB (K, JBOV) - SBB (K, JBOV) + E + F
 CONTINUE
 17
 AA (I, NHBN, IEB) - AA (I, NHBN, IEB) + 7, +A + B, +C + D, +B + D
 JNL - NHBN - J + I
 AA (J, JNL, IEB) - AA (J, JNL, IEB) - 1, +A - 4, +B + C, +D
 AA (I, NHBN, IEB) - AA (I, NHBN, IEB) + 1 E, * (A + B + C + D)
 JNL - NHBN - J + I


```

A) TYPE DOUBLE-PREC
SUBROUTINE DCHOLBA(NB, NMB, NBPT, IERR)
IMPLICIT REAL*8(A-H,O-Z)
COMMON /C2/ I, DMEBS(2), FEMES(2), SEMES(2), SFTIB(2)
*      SHAV(2), RM(1), RME(1), REL(70), RI(70), RRI(70), S(2),
*      RAD(2), ZE(70), EBS(70), FBS(70), AMI(70), S
      WRITE(2, 200) 350
200 FORMAT(3X, 1B, 7)      ! AND SUMMARIZE MATRIX?
      WRITE(2, 201) 4, (RME(I), I=1, NMB)
      FORMAT(3X, SF15.4)
      WRITE(2, 111)
111 FORMAT(4H, 1/ )
      DO 4 L=1, NMB
      BLKINQ=0
      IF (L .EQ. 1) GO TO 5
      L=L-NMB+1
      IF (L .LT. 1) L=1
      MM=MM+1
      DO 5 K=L, MM
      Z=MM*(MM-1)/2
      BLKINQ=BLKINQ+Z*(Z+1)*IERR
      TBLKINQ=Z*(Z+1)*IERR-BLKINQ
      AM(L, K)=TBLKINQ-IERR-TBLKINQ
      IF (L .EQ. MM) GO TO 6
      L=L-NMB+1
      IF (L .LT. 1) L=1
      K=K-NMB+1
      DO 6 J=L, K
      BLKINQ=0
      IF (J .EQ. 1) GO TO 7
      L=L-NMB
      MM=MM-NMB
      MM=MM-NMB
      Z=MM*(MM-1)/2
      BLKINQ=BLKINQ+Z*(Z+1)*IERR
      TBLKINQ=Z*(Z+1)*IERR-BLKINQ
      AM(J, K)=TBLKINQ-IERR-TBLKINQ
      CONTINUE
      CONTINUE
      RETURN
END

```

A) TYPE FIBERDA, FIBR
 SUBROUTINE FIBERDA(ISTT, ITT, NBP, FIBERDA, CHMELB, CHMELA)
 IMPLICIT REAL*8(A-H,O-Z)
 COMMON D(2,10), DEKED(2,10), FEMED(2,10), BENED(2,2,10), BFD(2)
 , GMADV(2,10), RM(10), RVEL(10), STRAM(70,5), R(70), RA(70,5),
 RBD(2), ZE(70,2), RBD(70,2), RBS(70,2), RAI(70,2)
 IF(ISTT.NE.0) RBD(70,2)
 DO 12 I=1,NBP
 DO 12 J=1,NBP
 AMX(I,J,IEB)=1.
 EINT=0.
 DO 1 JEB=1,NBP
 DO 2 I=1,NBP
 STRAM(I,J,IEB)=0.
 DO 2 JEB=1,NBP
 DO 3 I=1,NBP
 STRAM(I,I,IEB)=STRAM(I,I,IEB)+BFD(I,I)+R(1,I,IEB)+RA(1,I,IEB)
 CONTINUE
 DO 3 I=1,NBP
 EINT=EINT+STRAM(I,I,IEB)
 CONTINUE
 FADTRN=FADTRN/EINT
 IF(ISTT.EQ.0) GO TO 5
 ENDCA=FADTRN/CHMELA/FADTRN
 CHMELB=CHMELA*ENDCA-1
 IF(CHMELB.LT.0) CHMELB=CHMELB*(-1)
 ENBD=1-CHMELB
 WRITE(2,7) ENBD,1,CHMELB
 FORMAT(1/10X,10X,F10.5,10X,F10.5,10X,F10.5,10X,F10.5,10X,F10.5)
 FADTRN=FADTRN/CHMELA
 DO 5 IEB=1,NBP
 DO 5 J=1,NBP
 RAI(I,J,IEB)=FADTRN*AMX(I,J,IEB)
 DO 5 I=1,NBP
 STRAM(I,I,IEB)=FADTRN*STRAM(I,I,IEB)
 CONTINUE
 EINTLN
 END

```

A) TYPE SUBROUTINE FDR
      SUBROUTINE DFRDRA(IEB,NETT,NEP,NDVY,NETEDR)
      IMPLICIT REAL*8(A-H,O-Z)
      COMMON D(2,10),DEKED(2,10),FEDED(2,10),BKED(2,2,10),DFID(2)
      ,SMAY(2,10),RM(10),RMEL(10),STARM(70,5),R(70),PA(70,E,2),
      ,BD(2),ZE(70,2),BD(70,2),PBD(70,2),AMI(70,2)
      IF(NETEDR.NE.0) GO TO 1
      DO 2 I=1,NEP
      STARM(I,I)=0.
1     IF(IEB.EQ.1) GO TO 3
      KEB=IEB-1
      DO 4 KEB=1,M
      TBOV=(IEB-1)*(IEB-2)/2.+M*2
      DO 5 I=1,NEP
      STARM(I,KEB)=STARM(I,I)+TBOV+BD(1,I)+TBOV*M+KEB
      COUNT1=LIC
      COUNT2=LIC
      IF(NETEDR.EQ.0) GO TO 6
      DO 7 I=1,NEP
      STARM(I,KEB)=STARM(I,KEB)+ZE(I,KEB)
6     RETURN
      END

```

```

A) TYPE: SUBROUTINE
SUBROUTINE CHI2DR( XEM, NET, NBP, NEM )
IMPLICIT REAL*8 (A-H,O-Z)
COMMON D(2,10), DEMED(2,10), FEMED(2,10), GEMED(2,2,10), HEMED(2,2,10)
* SMAX(2,10), RM(10), RREL(10), STARM(70,2), T(70), A(70,2), B(70,2),
* BDC(2), ZE(70,2), SBD(70,2), FBD(70,2), PDI(70,2)
DO 1 I=1,NBP
  DO 1 J=1,NEM
    A(I,J)=T(I,J)
    B(I,J)=PDI(I,J)
    C(I,J)=SBD(I,J)
    D(I,J)=FBD(I,J)
    E(I,J)=GEMED(I,J)
    F(I,J)=HEMED(I,J)
    G(I,J)=RREL(I,J)
    H(I,J)=RM(I,J)
    I(I,J)=STARM(I,J)
    J(I,J)=SMAX(I,J)
    K(I,J)=ZE(I,J)
    L(I,J)=BDC(I,J)
CONTINUE
DO 5 I=1,NBP
  DO 5 J=1,NEM
    A(I,J)=T(I,J)
    B(I,J)=PDI(I,J)
    C(I,J)=SBD(I,J)
    D(I,J)=FBD(I,J)
    E(I,J)=GEMED(I,J)
    F(I,J)=HEMED(I,J)
    G(I,J)=RREL(I,J)
    H(I,J)=RM(I,J)
    I(I,J)=STARM(I,J)
    J(I,J)=SMAX(I,J)
    K(I,J)=ZE(I,J)
    L(I,J)=BDC(I,J)
CONTINUE
RETURN
END

```

```

A> TYPE OUTPUT, FOR
      SUBROUTINE OUTPUT(NEST, NESP)
      IMPLICIT REAL*8(A-H,O-Z)
      COMMON D(2,10), DEKE(2,10), FEME(2,10), REKE(2,2,10), SFIB(2)
*     + SMAY(2,10), MM(3,2), RMEL(3,2), REL(70,5), R(70), AM(70,5,2),
*     + BAD(2), ZE(70,20), SBD(70,2), FB(70,2), AMI(70,2)
      PAUSE 1
      WRITE(2,10)
      FORMAT(1X,10X,BX,10X,AM,10X,BX,10X,BX)
      DO 2 IEM=1,NEST
      PAUSE 1
      WRITE(2,2) IEM
      FORMAT(1X,10X,BX,10X,AM,10X,BX,10X,BX)
      WRITE(2,4)
      FORMAT(1X,4X,BX,10X,BX,10X,AM,10X,BX)
      WRITE(2,5) (1,AMI(I,IEM),I=1,NEST)
      FORMAT(17,E14.6)
      CONTINUE
      RETURN
      END

```

Ek.2

ÖRNEK BİLGİSAYAR ÇIKIŞI

BIRDI LISTERI

GURUR SAVIDI = ♂

MALZEME SAVIDI = ♂

GERBEST MOTRON HAVVADI = ♀

FİBİL MALZEME = ♂

ELİMAN İÇİ PİPERİ SAVIDI = ♂

ELİMAN SAVIDI = ♂

BOĞUM İKİNCİ KEDİLLİ = ♂

MAXİMUS İTHARİYON SAVIDI = 100

VİNİFERA PARMETREDE = 1.0000000

KEFF DİDİMDE = 1.000000

FİGVİN İNORMAL İGAVIDİ PARMETREDE = 1.000000

TEBİR KESİTLERİ LİSTESİ

MALZEME NGELİ

1

DİFUZYON KESİTLERİ

• 088108 • 272817

DİMARTMA TEBİR KESİTLERİ

• 086102 • 216022

GAZILMA TEBİR KESİTLERİ

ENERJİ GRUBU 2
• 063667

FİSYON TEBİR KESİTLERİ

• 085102 • 175450

MALZEME PARÇALI

2

DİFUZYON KESİTLERİ

• 782420 • 612670

DİMARTMA TEBİR KESİTLERİ

• 012520 • 065442

GAZILMA TEBİR KESİTLERİ

ENERJİ GRUBU 2
• 010606

FİSYON TEBİR KESİTLERİ

• 080002 • 080002

FİSYON KESİTLERİ

• 080002 • 080002

MALZEME VARIÇAPı VE MALZEMEDENİ ELEMAN RAVİLARI

MALZEME NODU

MALZEME DİS VARIÇAPı

MALZEMEDENİ ELEMAN RAVİDİ

A
B

1.D. 500000
2.A. 600007

C
D

ELEMANLARA AIT BİLGİLER

1 İNDİ NOD

2 İNDİ NOD

3 İNDİ NOD

4 İNDİ NOD

5 İNDİ NOD

A. 1.	B. 1.	C. 1.	D. 1.	E. 1.
A. 2.	B. 2.	C. 2.	D. 2.	E. 2.
A. 3.	B. 3.	C. 3.	D. 3.	E. 3.
A. 4.	B. 4.	C. 4.	D. 4.	E. 4.
A. 5.	B. 5.	C. 5.	D. 5.	E. 5.
A. 6.	B. 6.	C. 6.	D. 6.	E. 6.

NOD KİDRİKLİLER

NOD ADDELI

A. 1.	B. 1.
A. 2.	B. 2.
A. 3.	B. 3.
A. 4.	B. 4.
A. 5.	B. 5.
A. 6.	B. 6.
A. 7.	B. 7.
A. 8.	B. 8.
A. 9.	B. 9.
A. 10.	B. 10.
A. 11.	B. 11.
A. 12.	B. 12.
A. 13.	B. 13.
A. 14.	B. 14.
A. 15.	B. 15.
A. 16.	B. 16.
A. 17.	B. 17.
A. 18.	B. 18.
A. 19.	B. 19.
A. 20.	B. 20.
A. 21.	B. 21.
A. 22.	B. 22.
A. 23.	B. 23.
A. 24.	B. 24.
A. 25.	B. 25.

A. INDI SURNIP ELEMENT MATRIX

1. 11111	2. 11112	3. 11113	4. 11114
1. 11121	2. 11122	3. 11123	4. 11124
1. 11131	2. 11132	3. 11133	4. 11134
1. 11141	2. 11142	3. 11143	4. 11144
1. 11211	2. 11212	3. 11213	4. 11214
1. 11221	2. 11222	3. 11223	4. 11224
1. 11231	2. 11232	3. 11233	4. 11234
1. 11241	2. 11242	3. 11243	4. 11244
1. 11311	2. 11312	3. 11313	4. 11314
1. 11321	2. 11322	3. 11323	4. 11324
1. 11331	2. 11332	3. 11333	4. 11334
1. 11341	2. 11342	3. 11343	4. 11344
1. 11411	2. 11412	3. 11413	4. 11414
1. 11421	2. 11422	3. 11423	4. 11424
1. 11431	2. 11432	3. 11433	4. 11434
1. 11441	2. 11442	3. 11443	4. 11444
1. 12111	2. 12112	3. 12113	4. 12114
1. 12121	2. 12122	3. 12123	4. 12124
1. 12131	2. 12132	3. 12133	4. 12134
1. 12141	2. 12142	3. 12143	4. 12144
1. 12211	2. 12212	3. 12213	4. 12214
1. 12221	2. 12222	3. 12223	4. 12224
1. 12231	2. 12232	3. 12233	4. 12234
1. 12241	2. 12242	3. 12243	4. 12244
1. 12311	2. 12312	3. 12313	4. 12314
1. 12321	2. 12322	3. 12323	4. 12324
1. 12331	2. 12332	3. 12333	4. 12334
1. 12341	2. 12342	3. 12343	4. 12344
1. 12411	2. 12412	3. 12413	4. 12414
1. 12421	2. 12422	3. 12423	4. 12424
1. 12431	2. 12432	3. 12433	4. 12434
1. 12441	2. 12442	3. 12443	4. 12444
1. 13111	2. 13112	3. 13113	4. 13114
1. 13121	2. 13122	3. 13123	4. 13124
1. 13131	2. 13132	3. 13133	4. 13134
1. 13141	2. 13142	3. 13143	4. 13144
1. 13211	2. 13212	3. 13213	4. 13214
1. 13221	2. 13222	3. 13223	4. 13224
1. 13231	2. 13232	3. 13233	4. 13234
1. 13241	2. 13242	3. 13243	4. 13244
1. 13311	2. 13312	3. 13313	4. 13314
1. 13321	2. 13322	3. 13323	4. 13324
1. 13331	2. 13332	3. 13333	4. 13334
1. 13341	2. 13342	3. 13343	4. 13344
1. 13411	2. 13412	3. 13413	4. 13414
1. 13421	2. 13422	3. 13423	4. 13424
1. 13431	2. 13432	3. 13433	4. 13434
1. 13441	2. 13442	3. 13443	4. 13444
1. 14111	2. 14112	3. 14113	4. 14114
1. 14121	2. 14122	3. 14123	4. 14124
1. 14131	2. 14132	3. 14133	4. 14134
1. 14141	2. 14142	3. 14143	4. 14144
1. 14211	2. 14212	3. 14213	4. 14214
1. 14221	2. 14222	3. 14223	4. 14224
1. 14231	2. 14232	3. 14233	4. 14234
1. 14241	2. 14242	3. 14243	4. 14244
1. 14311	2. 14312	3. 14313	4. 14314
1. 14321	2. 14322	3. 14323	4. 14324
1. 14331	2. 14332	3. 14333	4. 14334
1. 14341	2. 14342	3. 14343	4. 14344
1. 14411	2. 14412	3. 14413	4. 14414
1. 14421	2. 14422	3. 14423	4. 14424
1. 14431	2. 14432	3. 14433	4. 14434
1. 14441	2. 14442	3. 14443	4. 14444

© 1998 JOURNAL OF CLIMATE AND APPLIED CLIMATE

ITERATION DAVIDI = 1
KEFF= . 1 000E+01 VAKINBADA PARAMETREDI = . 0000E+01
ITERATION DAVIDI = 2
KEFF= . 1 1 0 1 0 E+01 VAKINBADA PARAMETREDI = . 1 000E+01
ITERATION DAVIDI = 3
KEFF= . 1 1 0 7 1 E+01 VAKINBADA PARAMETREDI = . 00707E+01
ITERATION DAVIDI = 4
KEFF= . 1 1 1 0 8 E+01 VAKINBADA PARAMETREDI = . 0000E+02
ITERATION DAVIDI = 5
KEFF= . 1 1 1 1 0 E+01 VAKINBADA PARAMETREDI = . 1 000E+02
ITERATION DAVIDI = 6
KEFF= . 1 1 1 1 1 E+01 VAKINBADA PARAMETREDI = . 1 1 000E+02
ITERATION DAVIDI = 7
KEFF= . 1 1 1 1 4 7 E+01 VAKINBADA PARAMETREDI = . 75000E+02
ITERATION DAVIDI = 8
KEFF= . 1 1 1 1 5 E+01 VAKINBADA PARAMETREDI = . 40000E+02
ITERATION DAVIDI = 9
KEFF= . 1 1 1 1 5 7 E+01 VAKINBADA PARAMETREDI = . 31750E+02
ITERATION DAVIDI = 10
KEFF= . 1 1 1 1 6 E+01 VAKINBADA PARAMETREDI = . 30000E+02
ITERATION DAVIDI = 11
KEFF= . 1 1 1 1 6 7 E+01 VAKINBADA PARAMETREDI = . 1 27141E+02
ITERATION DAVIDI = 12
KEFF= . 1 1 1 1 6 8 E+01 VAKINBADA PARAMETREDI = . 30000E+02
ITERATION DAVIDI = 13
KEFF= . 1 1 1 1 6 9 E+01 VAKINBADA PARAMETREDI = . 1 4
ITERATION DAVIDI = 14
KEFF= . 1 1 1 1 6 9 5 E+01 VAKINBADA PARAMETREDI = . 26043E+04
ITERATION DAVIDI = 15
KEFF= . 1 1 1 1 6 9 6 E+01 VAKINBADA PARAMETREDI = . 20000E+04
ITERATION DAVIDI = 16
KEFF= . 1 1 1 1 6 9 6 1 E+01 VAKINBADA PARAMETREDI = . 1 40000E+04
ITERATION DAVIDI = 17
KEFF= . 1 1 1 1 6 9 6 1 1 E+01 VAKINBADA PARAMETREDI = . 1 21333E+04
ITERATION DAVIDI = 18
KEFF= . 1 1 1 1 6 9 6 1 1 1 E+01 VAKINBADA PARAMETREDI = . 50000E+03

EMERIK BURUJ MULYARADI - A

NO.	AM
1	515455E-01
2	515256E-01
3	759555E-01
4	779555E-01
5	751555E-01
6	717175E-01
7	674715E-01
8	627555E-01
9	574555E-01
10	515755E-01
11	454577E-01
12	389999E-01
13	351555E-01
14	155555E-01
15	120555E-01
16	747555E-01
17	465555E-01
18	255555E-01
19	155555E-01
20	114555E-01
21	715555E-01
22	455555E-01
23	355555E-01
24	125555E-01
25	455555E-01

EMERIK BURUJ MULYARADI - B

NO.	AM
1	455555E-01
2	44514555E-01
3	451555E-01
4	421555E-01
5	405555E-01
6	355555E-01
7	255555E-01
8	255555E-01
9	215555E-01
10	205555E-01
11	245455E-01
12	215555E-01
13	215555E-01
14	170555E-01
15	142555E-01
16	115755E-01
17	855555E-01
18	675555E-01
19	555555E-01
20	365555E-01
21	254455E-01
22	152455E-01
23	117455E-01
24	855555E-01
25	175555E-01

Ek.3

KAREKÖKLÜ CHOLOSKY YÖNTEMİYLE LİNEER DENKLEM SİSTEMİ ÇÖZÜMÜ

A matrisi n boyutunda simetrik ve pozitif kesin bir matris olsun. A matrisi bütün $x \in \mathbb{R}^n$ ve $x \neq 0$ koşullarıyle

$$(Ax, x) = \sum_{i=1}^n \sum_{j=1}^n a_{ij} x_i x_j > 0$$

şartını sağlıyorsa pozitif kesindir.

Matris indirgenemeyen köşegen hakim, köşegen elemanları pozitif ve gerçel simetrik ise pozitif kesin bir matristir.

$$A \cdot x = f \quad \text{lineer denklem sisteminde}$$

A matrisi pozitif kesin bir matris ise,

L üst üçgen ve L^T alt üçgen matrisler olmak üzere $A \cdot x = f$ lineer denklem sistemi $L \cdot L^T \cdot x = f$ şeklinde yazılabilir.

$$L \cdot y = f \quad \text{denirse}$$

$$y = L^T \cdot x \quad \text{bulunur.}$$

$L \cdot y = f$ denklem sisteminde y bilinmeyenleri bulunur ve diğer denklemde yerine yazılıarak x bilinmeyen vektörü elde edilir.

L ve L^t matrislerinin elemanları aşağıdaki şekilde belirlenir.

$$A = \begin{bmatrix} a_{11} & a_{12} & a_{13} & \cdots & a_{1i} & \cdots & a_{1n} \\ a_{12} & a_{22} & a_{23} & \cdots & a_{2i} & \cdots & a_{2n} \\ \vdots & & & & & & \vdots \\ a_{1i} & a_{2i} & a_{3i} & & a_{ii} & & a_{in} \\ \vdots & & & & & & \vdots \\ a_{1n} & a_{2n} & a_{3n} & \cdots & a_{in} & \cdots & a_{nn} \end{bmatrix}$$

$$L = \begin{bmatrix} l_{11} & & & & & & \\ l_{12} & l_{22} & & & & & \\ l_{13} & l_{23} & l_{33} & & & & \\ \vdots & & & & & & \\ l_{1i} & l_{2i} & l_{3i} & \cdots & l_{ii} & & \\ \vdots & & & & & & \\ l_{1n} & l_{2n} & l_{3n} & \cdots & & & l_{nn} \end{bmatrix}$$

$A = L \cdot L^t$ matrisyel eşitliğinden, L ve L^t matrislerinin elemanları A matrisinin elemanları cinsinden bulunabilir.

$$l_{ii} = \sqrt{a_{ii} - \sum_{j=1}^{j-1} l_{ji}^2}$$

$$l_{ji} = \frac{1}{l_{jj}} \left[a_{ji} - \sum_{k=1}^{j-1} l_{ki} l_{kj} \right] \quad j < i$$

$L \cdot y = f$ denklem sisteminin çözümü ile y bilinmeyenleri belirlenir.

$$y_i = \frac{1}{l_{ii}} \left[f_i - \sum_{j=1}^{i-1} l_{ij} y_j \right] \quad i = 1, 2, \dots, n$$

$L^t \cdot x = y$ denklem sisteminden x bilinmeyenleri bulunur.

$$x_i = \frac{1}{l_{ii}} \left[y_i - \sum_{j=i+1}^n l_{ij} x_j \right] \quad i = n, n-1, \dots, 1$$

KAYNAKLAR

- /1/ B.Özgener , Difüzyon teorisi hesaplarında sonlu elemanlar yöntemi İTÜ NEE 1983
- /2/ A.Kavas , Sonlu elemanlar yöntemiyle silindirsel geometride çok guruplu difüzyon denklemleri sayısal çözümleri İTÜ NEE M.M.L.S tezi 1984
- /3/ A.Özgener , Reaktör fizигinde sayısal analiz ders notları 1984
- /4/ J.Duderstadt,L.Hamilton , Nuclear reactor analysis John Wiley Sons Inc 1976
- /5/ A.Anacan, A.Yücel,T.Yarman , İTÜ TRIGA MARK-II reaktörü fizik hesapları
- /6/ Ü.Yarımagaн , FORTRAN IV

T E S E K K Ü R

Yüksek lisans tezimi yöneten , çalışmalarımada büyük
yardımlarını gördüğüm Sayın Yrd.Doç.Dr Atilla
Özgener'e teşekkür ederim.